# Mitschrieb: Differentialtopologie I WS 17 / 18

tensor.produkt@gmx.de

6. Februar 2018

# Vorwort

Dies ist ein Mitschrieb der Vorlesungen vom 1.12.17 bis zum 22.01.18 des Kurses DIFFERENTIALTOPOLOGIE I an der Universität Heidelberg.

Dieses Dokument wurde "live" in der Vorlesung getext. Sämtliche Verantwortung für Fehler übernimmt alleine der Autor dieses Dokumentes.

Auf Fehler kann gerne hingewiesen werden bei folgende E-Mail-Adresse

tensor.produkt@gmx.de

Ferner kann bei dieser E-Mail-Adresse auch der Tex-Code für dieses Dokument erfragt werden.

# Inhaltsverzeichnis

1	$\mathbf{A}_{\mathbf{BF}}$	aiss 5	ó		
	1.1	Topologie	5		
	1.2	Mannigfaltigkeiten	7		
	1.3	Vektorraumbündel	2		
4	VEK	TTORRAUMBÜNDEL 19	)		
	4.1	Glatter Approximationssatz	)		
	4.2	Homogenität von Mannigfaltigkeiten	1		
	4.3	Theorie der Abbildungsgrade	7		
	4.4	Orientierungen	)		
	4.5	Anwendungen des Abbildunggrades	}		
5	DE RHAM KOHOMOLOGIE 35				
	5.1	Äußere Algebren	3		
	5.2	Äußeres Produkt	)		
	5.3	Glatte Differentialformen auf Offenen Mengen im $\mathbb{R}^n$	2		
	5.4	Das Äußere Produkt auf der Kohomologie	)		
	5.5	Funktorialität	)		
	5.6	Pullback auf die de Rham-Kohomologie	2		
	5.7	De Rham-Kohomologie von Glatten Mannigfaltigkeiten	5		
	5.8	Integration auf Glatten Mannigfaltigkeiten	3		
	5.9	Der Allgemeine Satz von Stokes	)		
	5.10	Das Homotopieaxiom für de Rham-Kohomologie	2		
		Exakte Sequenzen	3		
		Die Mayer-Vietoris-Sequenz	7		
6	KOHOMOLOGIE MIT KOMPAKTEN TRÄGERN 71				
	6.1	Mayer-Vietoris für $H_c^*$	1		
	6.2	Poincare-Lemma für $H_c^*$	5		

	6.3	Zurück zum Abbildungsgrad
	6.4	Endlich-Dimensionalität der Kohomologie
	6.5	Der Kohomologiering von $\mathbb{C}P^n$
	6.6	Kartesische Produkte
7	Bor	RDISMUS-THEORIE 97
	7.1	Die Signatur einer Mannigfaltigkeit
	7.2	Ausblick

# Kapitel 1

# **ABRISS**

# 1.1 Topologie

# 1.1.1 Lemma: Lebesgue

Abriss vorhergehender Vorlesungen

Sei X ein kompakter Raum mit Metrik d.  $(U_i)_{i \in I}$  sei eine Überdeckung von X durch offene Mengen. Dann gibt es eine Konstante  $\delta > 0$ , die sogenannte **Lebesgue-Konstante**, sodass für jede Teilmenge  $A \subset X$  gilt

$$\operatorname{diam}(A) = \sup\{d(a,b) \mid a,b \in A\} < \delta \Longrightarrow \exists i \in I : A \subset U_i$$

#### Beweis

Für jedes  $x \in X$  wählen wir ein  $\varepsilon(x) > 0$  und ein  $i(x) \in I$  mit

$$B_{2\varepsilon(x)}(x) \subset U_{i(x)}$$

Die Menge  $\{B_{\varepsilon(x)}(x)\}_{x\in X}$  ist eine Überdeckung von X durch offene Mengen und eine Verfeinerung von  $\{U_i\}_{i\in I}$ . Da X kompakt ist, erhalten wir eine endliche Teilüberdeckung  $\{B_{\varepsilon(x_i)}(x_i)\}_{i=1}^n$  von X. Setze

$$\delta := \min\{\varepsilon(x_1), \dots, \varepsilon(x_n)\}$$

Sei nun  $A \subset X$  mit

$$\operatorname{diam}(A) \subset \delta$$

Dann gibt es ein  $x \in \{x_1, \dots, x_n\}$  mit  $a_0 \in B_{\varepsilon(x)}(x) \cap A \neq \emptyset$ . Es gilt dann für alle  $a \in A$ 

$$d(a, x) \le d(a, a_0) + d(a, x) < \delta + \varepsilon(x) \le 2\varepsilon(x)$$

Daraus folgt

$$A \subset B_{2\varepsilon(x)}(x) \subset U_{i(x)}$$

#### 1.1.2 Definition

Eine Überdeckung eines topologischen Raumes durch offene Mengen heißt **lokal endlich**, wenn jeder Punkt des Raumes eine Umgebung besitzt, die nur endlich viele Elemente der Überdeckung schneidet.

#### 1.1.3 Definition

Ein topologischer Raum heißt **parakompakt**, wenn jede Überdeckung durch offene Mengen eine lokal endliche Verfeinerung besitzt.

# 1.1.4 Bemerkung

- Ist ein Raum parakompakt, so ist er auch **normal**, d. h., zwei disjunkte abgeschlossene Teilmengen besitzen in diesem Raum zwei disjunkte Umgebungen.
- Jeder metrische Raum ist parakompakt.
- Im Allgemeinem impliziert Parakompaktheit nicht Metrisierbarkeit.

#### 1.1.5 Definition

Sei X ein topologischer Raum mit einer Überdeckung  $\{U_i\}_{i\in I}$  durch offene Mengen. Eine **Zerlegung der Eins** bzgl.  $\{U_i\}_{i\in I}$  ist eine Familie  $\{f_i\}$  von stetigen Funktionen

$$f_i:X\longrightarrow\mathbb{R}$$

mit

- i.) supp  $f_i := Cl(\{x \in X \mid f(x) \neq 0\}) \subset U_i$ ,
- ii.) Für alle  $x \in X$  gilt

$$f_i(x) = 0$$

für fast alle  $i \in I$ 

iii.) und

$$\sum_{i \in I} f_i(x) = 1$$

für alle  $x \in X$ .

#### 1.1.6 Satz

Ein parakompakter Raum besitzt bzgl. jeder Überdeckung durch offene Mengen eine Zerlegung der Eins.

# 1.2 Mannigfaltigkeiten

# 1.2.1 Proposition

Jede Mannigfaltigkeit, die sich durch zwei Karten mit zusammenhängendem Schnitt überdecken lässt, ist orientierbar.

### 1.2.2 Definition

Sei  $\varphi:M\to N$  eine glatte Abbildung glatter Mannigfaltigkeiten.

1.)  $p \in M$  heißt ein **kritischer Punkt**, falls

$$\varphi_{p,*}:T_pM\to T_{\varphi(p)}N$$

nicht surjektiv ist.

- 2.)  $q \in N$  heißt ein **kritischer Wert**, falls es einen kritischen Punkt  $p \in \varphi^{-1}(q)$  gibt.
- 3.) Ist  $q \in N$  nicht kritisch, so nennen wir q einen **regulären Wert**.

# 1.2.3 Bemerkung

• Ist  $\dim M < \dim N$ , so gilt für  $q \in N$ 

$$q$$
 ist regulär  $\iff q \notin \varphi(M)$ 

- Ist dim  $M \ge \dim N$ , so gilt für  $q \in N$ q ist regulär  $\iff \forall p \in \varphi^{-1}(q) : \varphi_{p,*}$  hat als lineare Abbildung einen Rang von dim N
- Alle  $q \in N \varphi(M)$  sind reguläre Werte.

#### 1.2.4 Satz: Sard

Sei  $f: U \overset{o}{\subset} \mathbb{R}^n \to \mathbb{R}^p$  glatt. Setze

$$C := \{ x \in \mathbb{R}^n \mid x \text{ ist kein regulärer Punkt für } f \}$$

Dann ist f(C) eine Nullmenge.

#### **Beweis**

Wir führen eine Induktion nach n: Setze

 $C_k := \{x \in U \mid \text{alle partiellen Ableitungen von } f \text{ der Ordnung } k \text{ verschwinden in } x\}$ 

Es gilt dann

$$C \supseteq C_1 \supseteq C_2 \supseteq \dots$$

Wir proklamieren folgende Dinge

- (1)  $f(C \setminus C_1)$  ist eine Nullmenge.
- (2)  $f(C_k \setminus C_{k+1})$  ist eine Nullmenge.
- (3) Es gibt ein k, sodass  $f(C_k)$  eine Nullmenge ist.

Hieraus folgt dann, dass f(C) eine Nullmenge ist. Wir zeigen nun die proklamierten Dinge

(1)  $f(C \setminus C_1)$  ist eine Nullmenge: Sei  $x' \in C \setminus C_1$ . Dann gilt

$$\frac{\partial f_1}{\partial x_1}(x') \neq 0$$

Betrachte

$$h: U \longrightarrow \mathbb{R}^n$$
  
 $x \longmapsto (f_1(x), x_2, \dots, x_n)$ 

hist dann in einer Umgebung von x'invertierbar. Betrachte für ein passendes  $V\stackrel{o}{\subset}\mathbb{R}^n$ 

$$g := f \circ h^{-1} : V \longrightarrow \mathbb{R}^p$$

Betrachte

$$C':=h(C\cap V)$$

C' ist gerade die Menge der kritischen Punkte von g. Ferner genügt es zu zeigen, dass  $g(C') = f(C \cap V)$  eine Nullmenge ist.

Betrachte die Einschränkung

$$g_t: V \cap \{t\} \times \mathbb{R}^{n-1} \longrightarrow \mathbb{R}^n$$

g ist gerade so definiert, dass gilt

$$g(x_1,\ldots,x_n)=(x_1,y_2,\ldots,y_p)$$

Deswegen ist der erste Eintrag der Jacobimatrix von g eine Eins. Insofern gilt

$$C' = \bigcup_t C_t$$

wobei  $C_t$  die kritischen Punkte von  $g_t$  sind. Nach der Induktionsvoraussetzung haben aber alle

$$g_t(C_t)$$

Maß 0. Nach dem Satz von Fubini hat damit auch g(C') Maß Null. Damit hat auch  $f(C-C_1)$  Maß Null.

(2)  $f(C_k \setminus C_{k+1})$  ist eine Nullmenge: Sei  $x' \in C_k \setminus C_{k+1}$ . Dann gilt ohne Einschränkung

$$\frac{\partial^{k+1} f_1}{\partial x_1 \dots \partial x_{k+1}} (x') \neq 0$$

Betrachte

$$h: U \longrightarrow \mathbb{R}^n$$
  
 $x \longmapsto (\frac{\partial^k f_1}{\partial x_1 \dots \partial x_k}(x), x_2, \dots, x_n)$ 

Nach der vorherigen Überlegung folgt nun für h

$$h(C^h - C_1^h)$$
 hat Maß Null

Hieraus folgt die Behauptung.

(3) Es gibt ein k, sodass  $f(C_k)$  eine Nullmenge ist:

Sei  $I^n \subset \mathbb{R}^n$  ein Würfel mit Seitenlängen  $\delta$ . Es genügt zu zeigen, dass  $f(C_k \cap I^n)$  Nullmaß hat.

Seien x und x + h aus  $I^n \cap C$ . Durch eine Taylorentwicklung von f bei x sieht man ein, dass

$$||f(x+h) - f(x)|| \le c \cdot ||h||^{k+1}$$

Setze k=n. Durch Unterteilung von  $I^n$  erhält man  $2^n$  viele neue Unterwürfel (jedes I wird halbiert). Dadurch wird die maximale Länge von h halbiert. Ergo wird die maximale Distanz von Bildwerten von f eines Unterwürfels um den Faktor  $2^{n+1}$  reduziert. Hieraus folgt nun, dass  $f(C_n \cap I^n)$  Maß Null haben muss, da wir sonst einen Widerspruch erhalten.

#### 1.2.5 Korollar: Satz von Brown

Sei  $f: M \to N$  glatt. Dann ist die Menge der regulären Werte von f in N dicht.

### 1.2.6 Definition

Sei  $\varphi: M \to N$  eine glatte Abbildung glatter Mannigfaltigkeiten.

- 1.)  $\varphi$  heißt **Submersion**, falls  $\varphi_{p,*}: T_pM \to T_{\varphi(p)}N$  für alle  $p \in M$  surjektiv ist.
- 2.)  $\varphi$  heißt **Immersion**, falls  $\varphi_{p,*}: T_pM \to T_{\varphi(p)}N$  für alle  $p \in M$  injektiv ist.
- 3.)  $(M, \varphi)$  heißt eine **Untermannigfaltigkeit** von N, falls  $\varphi$  eine injektive Immersion ist.
- 4.)  $(M, \varphi)$  heißt eine **Einbettung** in N, falls sie eine Untermannigfaltigkeit ist und ein  $\varphi$  einen Homöomorphismus von M auf ihr Bild ist.

# 1.2.7 Proposition

Sei  $\varphi:M\to N$  eine glatte Abbildung glatter Mannigfaltigkeiten der Dimensionen m bzw. n.  $p\in M$  sei ein beliebiger Punkt.

• Ist  $\varphi$  immersiv bei p, so existieren Karten  $U \subset M, V \subset N$ , um p bzw.  $\varphi(p)$  und eine Abbildung

$$\widetilde{\varphi}: \mathbb{R}^m \longrightarrow \mathbb{R}^n$$
  
 $(x_1, \dots, x_m) \longmapsto (x_1, \dots, x_m, 0, \dots, 0)$ 

sodass folgendes Diagramm kommutiert

$$U \xrightarrow{\varphi} V$$

$$\downarrow \cong \qquad \downarrow \cong$$

$$\mathbb{R}^m \xrightarrow{\widetilde{\varphi}} \mathbb{R}^n$$

• Ist  $\varphi$  submersiv bei p, so existieren Karten  $U\subset M, V\subset N$ , um p bzw.  $\varphi(p)$  und eine Abbildung

$$\widetilde{\varphi}: \mathbb{R}^m \longrightarrow \mathbb{R}^n$$
  
 $(x_1, \dots, x_m) \longmapsto (x_1, \dots, x_n)$ 

sodass folgendes Diagramm kommutiert

$$\begin{array}{ccc} U & \stackrel{\varphi}{\longrightarrow} V \\ \downarrow^{\cong} & \downarrow^{\cong} \\ \mathbb{R}^m & \stackrel{\widetilde{\varphi}}{\longrightarrow} \mathbb{R}^n \end{array}$$

### 1.2.8 Korollar

Sei  $\varphi: M \to N$  eine glatte Abbildung glatter Mannigfaltigkeiten. Ist  $q \in N$  regulär, so ist  $\varphi^{-1}(q) \subset M$  eine eingebettete Untermannigfaltigkeit der Dimension dim M – dim N.

#### 1.2.9 Satz

Seien  $U, V \subset M$  glatte eingebettete Untermannigfaltigkeit. U und V schneiden sich transversal, wenn für alle  $x \in U \cap V$  gilt

$$T_x U + T_x V = T_x M$$

In einem solchen Fall ist  $U \cap V$  eine eingebettete Untermannigfaltigkeit der Dimension  $\dim U + \dim V - \dim M$ .

#### 1.2.10 Satz: Thoms Transversalität Theorem

Sei  $f: X \to M$  glatt und  $N \subset M$  eine eingebettete Untermannigfaltigkeit. Dann existiert eine glatte Abbildung  $f': X \to M$ , die homotop zu f ist und N **transversal** schneidet, d. h.

$$\mathsf{Bild}(f'_{*,x}) + T_{f(x)}N = T_{f(x)}M$$

für alle  $x \in f'^{-1}(N)$ . Ferner kann f' beliebig nahe und isotop zu f gewählt werden.

# 1.3 Vektorraumbündel

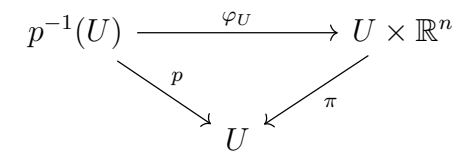
#### 1.3.1 Definition

Ein **Vektorraumbündel** von Rang n ist Tripel (p, E, B), bei der E, B topologisch Räume und  $p: E \to B$  eine stetige Abbildung sind, die folgende Eigenschaften erfüllen

• p ist lokal trivial, d.h., jeder Punkt  $b \in B$  hat eine Umgebung  $U \subset B$  zusammen mit einem Diffeomorphismus

$$\varphi_U: p^{-1}(U) \longrightarrow U \times \mathbb{R}^n$$

sodass folgendes Diagramm kommutiert



• Obiges  $\varphi_U$  induziert **faserweise** Isomorphismen, d. h., für alle  $x \in U$  hat  $p^{-1}(x)$  eine gegebene Vektorraumstruktur, für die

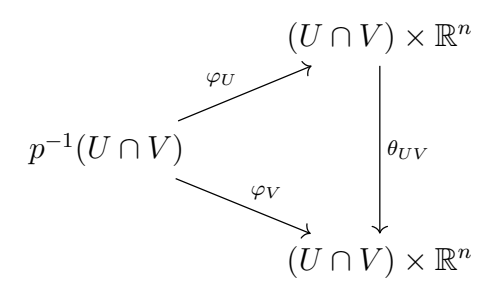
$$\varphi_{|x}: p^{-1}(x) \longrightarrow \{x\} \times \mathbb{R}^n$$

ein Isomorphismus von Vektorräumen ist.

In diesem Setting heißt B der **Basisraum**, E der **Totalraum**, p die lokal triviale **Projektion** und  $p^{-1}(b)$  die **Faser** über  $b \in B$ .

### 1.3.2 Bemerkung

Ist ein Vektorraumbündel wie oben gegeben, so erhalten wir für zwei Karten  $U,V\subset B$  folgendes Diagramm



 $\theta_{UV}$  ist dabei von der Gestalt

$$\theta_{UV}(x,y) = (x, \mathfrak{g}_{U,V}(x) \cdot y)$$

mit  $\mathfrak{g}_{U,V}:U\cap V\to GL_n(\mathbb{R})$  stetig.  $GL_n(\mathbb{R})$  nennt man hier die **Strukturgruppe** von (p,E,B) und die  $\mathfrak{g}_{U,V}$  nennt man die **Übergangsfunktionen**. Diese erfüllen funktorielle Eigenschaften:

- $\mathfrak{g}_{U,U} = \mathrm{Id}$
- $\bullet \ \mathfrak{g}_{V,W} \cdot \mathfrak{g}_{U,V} = \mathfrak{g}_{U,W}$

#### 1.3.3 Definition

Seien (p, E, B) und (p', E', B') zwei Vektorraumbündel. Eine **Homomorphismus** von Vektorraumbündeln ist ein kommutatives Diagramm

$$E \xrightarrow{F} E'$$

$$\downarrow^{p} \qquad \downarrow^{p'}$$

$$B \xrightarrow{f} B'$$

wobei F und f stetig sind, und F faserweise linear ist, d. h.

$$F_{|p^{-1}(b)}: p^{-1}(b) \longrightarrow p'^{-1}(f(b))$$

ist ein Homomorphismus von Vektorräumen für alle  $b \in B$ .

# 1.3.4 Bemerkung

Ein Homomorphismus (F, f) von Vektorraumbündeln ist genau dann ein Isomorphismus, wenn f homöomorph ist und F auf jeder Faser einen Isomorphismus induziert.

#### 1.3.5 Definition

(p, E, B) heißt **trivial**, falls  $E \cong B \times \mathbb{R}^n$ .

#### 1.3.6 Definition

Eine glatte Mannigfaltigkeit heißt **parallelisierbar**, wenn ihr Tangentialbündel trivial ist.

### 1.3.7 Satz: Einbettungssatz von Whitney

Sei M eine glatte, geschlossene Mannigfaltigkeit der Dimension n. Dann existiert eine Einbettung  $M \subset \mathbb{R}^{2n+1}$  von M als Untermannigfaltigkeit.

#### **Beweis**

• Sei  $U_1, \ldots, U_k$  eine Überdeckung von M durch Karten mit Diffeomorphismen  $\varphi_1, \ldots, \varphi_k$ . Wir wählen zusätlich offene Mengen  $V_1, \ldots, V_k$  so, dass diese M überdecken und dass gilt

$$\overline{V_i} \subset U_i$$

Ferner wählen wir glatte Funktionen  $\lambda_i: M \to \mathbb{R}$  mit

$$\lambda_{i|V_i} \equiv 1 \text{ und supp} \lambda_i \subset U_i$$

Definiere nun glatte Abbildungen

$$\psi_i: M \longrightarrow \mathbb{R}$$

$$x \longmapsto \begin{cases} \lambda_i(x)\varphi_i(x) & x \in U_i \\ 0 & x \notin U_i \end{cases}$$

Wir erhalten nun eine glatte Abbildung

$$\Theta: M \longrightarrow (\mathbb{R}^n)^k \times \mathbb{R}^k$$
$$x \longmapsto (\psi_1(x), \dots, \psi_k(x), \lambda_1(x), \dots, \lambda_k(x))$$

• Wir wollen zeigen, dass  $\Theta$  eine Einbettung ist. Sei  $p \in V_i, 0 \neq v \in T_pM$ . Angenommen es gilt

$$\Theta_{*,p}(v) = 0$$

Dann gilt insbesondere

$$\psi_{i,*,p}(v) = 0$$

 $\lambda_i$ ist in einer Umgebung von pkonstant 1, ergo gilt

$$\varphi_{j,p,*}(v) = 0$$

Aber  $\varphi_{j,p,*}$  ist ein Diffeomorphismus, ergo erhalten wir einen Widerspruch. Insofern ist  $\Theta$  immersiv.

Anhand der Definition sieht man auch ein, dass  $\Theta$  injektiv ist. Ferner ist  $\Theta$  ein Homöomorphismus auf sein Bild, da M kompakt und  $\mathbb{R}^{nk+k}$  ein Hausdorffraum ist.

• Wir haben nun eine Einbettung

$$\Theta: M \longrightarrow \mathbb{R}^N$$

und wollen Nauf 2n+1verringern. Dazu nehmen wir an, dass es ein  $0\neq w\in\mathbb{R}^N$  gibt mit

$$w$$
 ist nicht tangential zu  $\Theta(M)$ 

$$\forall x,y \in \Theta(M): x \neq y \Longrightarrow x-y$$
ist nicht parallel zu  $w$ 

In diesem Fall ergibt sich folgendes Diagramm

$$\mathbb{R}^N \xrightarrow{\Theta'} w^{\perp}$$

wobei  $\Theta'$  wieder eine Einbettung liefert.

ullet Wir wollen die Existenz von den oben proklamierten ws zeigen und betrachten die Projektion

$$\mathbb{R}^N \longrightarrow P^{N-1}\mathbb{R}$$

Wir erhalten zwei Abbildungen

$$\tau: \mathcal{T}M - M \subset \mathbb{R}^N \longrightarrow P^{N-1}\mathbb{R}$$
$$v \longmapsto [v]$$
$$\sigma: M \times M - \Delta(M) \longrightarrow P^{N-1}\mathbb{R}$$
$$(x, y) \longmapsto [x - y]$$

Laut dem Satz von Sard besitzen beide Abbildungen einen gemeinsamen regulären Wert [w]. Da

$$\dim M \times M = \dim \mathcal{T}M = 2n < N - 1 = \dim P^{N-1}\mathbb{R}$$

kann dieser Wert nicht in den Bildern von  $\tau$  und  $\sigma$  liegen, ergo erfüllt w obige Eigenschaften.

#### 1.3.8 Definition

Sei M eine n-dimensionale glatte Mannigfaltigkeit mit einer Einbettung  $M \subset \mathbb{R}^{n+k}$ . Setze

$$E := \left\{ (p, v) \in M \times \mathbb{R}^{n+k} \mid x \perp T_p M \right\}$$

Dann ist  $(\pi, E, M)$  das **Normalenbündel** von Rang k bzgl.  $M \subset \mathbb{R}^{n+k}$ .

# 1.3.9 Satz: Tubenumgebung

Ist M kompakt im obigen Setting, so existiert eine offene **Tubenumgebung**  $U \subset \mathbb{R}^{n+k}$  von M mit

$$U \cong E$$

Inbesondere kommt U mit einem Deformationsretrakt  $r: U \to M$  einher.

#### **Beweis**

Wir setzen für  $\varepsilon > 0$ 

$$E(\varepsilon) := \{ (p, v) \in E \mid ||v|| < \varepsilon \}$$

Offensichtlich liegt dann folgende Isomorphie vor

$$E(\varepsilon) \cong E$$

Durch die Exponentialabbildung von  $\mathbb{R}^{n+k}$  erhalten wir eine glatte Abbildung

$$\begin{aligned} \exp: E(\varepsilon) &\longrightarrow \mathbb{R}^{n+k} \\ (p,v) &\longmapsto \exp_p(v) = p+v \end{aligned}$$

Da M kompakt ist, können wir  $\varepsilon$  so klein wählen, dass exp zu einer Einbettung der Untermannigfaltigkeit  $E(\varepsilon)$  wird. Dann setzen wir

$$U := \exp(E(\varepsilon))$$

# Kapitel 4

# VEKTORRAUMBÜNDEL

# 4.1 Glatter Approximationssatz

Vorlesung vom 1.12.17

# 4.1.1 Proposition

Sei M eine glatte Mannigfaltigkeit,  $A \overset{c}{\subset} M$ ,  $f: M \to \mathbb{R}^k$  stetig, sodass  $f_{|A}$  glatt ist. Dann existiert für alle  $\varepsilon > 0$  eine Abbildung  $g: M \to \mathbb{R}^k$  mit:

- 1.) g ist glatt
- 2.)  $g_{|A} = f_{|A}$
- 3.)  $||f(x) g(x)|| < \varepsilon \ \forall x \in M$
- 4.)  $g\simeq f$  relativ A durch eine  $\varepsilon$ -kleine Homotopie, d.h., es existiert eine Homotopie  $H:M\times I\to \mathbb{R}^k$  mit
  - (a)  $H(x,t) = H(x,0) \quad \forall t \in I, x \in A$
  - (b)  $H(x,0) = f(x) \quad \forall x \in A$
  - (c)  $H(x,1) = g(x) \quad \forall x \in A$
  - (d)  $d(H(x,t_1),H(x,t_2)) < \varepsilon \quad \forall x \in M, t_1,t_2 \in I$

#### Beweis

Für alle  $x \in M$  wählen wir:

Fall 1  $x \in A$ :

Dann existiert eine offene Umgebung  $V_x\subset M$  und eine glatte Abbildung  $h_x:V_x\to\mathbb{R}^k$  mit

$$h_{x|V_x \cap A} = f_{|V_x \cap A}$$

Fall 2  $x \notin A$ :

Wähle  $V_x \stackrel{o}{\subset} M$  mit

$$V_x \cap A = \emptyset$$

und wähle  $h_x: V_x \to \mathbb{R}^k$  glatt mit

$$h_x(y) = f(x)$$

für alle  $y \in V$ . Außerdem stellen wir sicher, dass die  $V_x$  so klein sind, dass für  $x, x' \notin A$  gilt

$$||h_x(y) - f(x')|| < \frac{\varepsilon}{2}, \quad ||f(y) - f(x)|| < \frac{\varepsilon}{2}$$

Sei  $(U_{\alpha})_{\alpha}$  eine lokal endliche Verfeinerung von  $(V_x)_x$  mit

$$U_{\alpha} \subset V_{x(\alpha)}$$

Sei  $(\lambda_{\alpha})_{\alpha}$  eine glatte Partition der Eins mit supp $\lambda_{\alpha} \subset U_{\alpha}$ . Wir setzen

$$g(y) := \sum_{\alpha} \lambda_{\alpha}(y) h_{x(\alpha)}(y)$$

Dann ist  $g: M \to \mathbb{R}^k$  bereits glatt.

Sei  $y \in A$ . Wenn  $y \notin V_{x(\alpha)}$ , dann ist  $\lambda_{\alpha}(y) = 0$ , denn  $\operatorname{supp}(\lambda_{\alpha}) \subset V_{x(\alpha)}$ . Daraus folgt

$$g(y) = \sum_{\alpha: y \in V_{x(\alpha)} \cap A} \lambda_{\alpha}(y) h_{x(\alpha)}(y) = \sum_{\alpha: y \in V_{x(\alpha)} \cap A} \lambda_{\alpha}(y) f(y) = f(y)$$

bzw.

$$f_{|A} = g_{|A}$$

Sei  $y \notin A$ 

$$g(y) - f(y) = \sum_{\alpha} \lambda_{\alpha}(y) (h_{x(\alpha)}(y) - f(y))$$

Da 
$$||h_{x(\alpha)}(y) - f(y)|| \le ||h_{x(\alpha)}(y) - f(x)|| + ||f(x) - f(y)|| \le \varepsilon$$
, folgt  $||g(y) - f(y)|| \le \varepsilon$ 

Wir definieren nun die Homotopie zwischen f und g durch

$$H(x,t) := t \cdot f(x) + (1-t)g(x)$$

# 4.1.2 Satz: Glatter Approximationssatz

Sei M eine glatte Mannigfaltigkeit der Dimension m, sei N eine glatte, kompakte und metrische Mannigfaltigkeit der Dimension n. Sei  $A \stackrel{c}{\subset} M$ ,  $f: M \to N$  stetig. f sei auf A eingeschränkt glatt. Dann gilt:

Für jedes  $\varepsilon > 0$  existiert eine glatte Abbildung  $h: M \to N$ , sodass gilt:

- 1. h stimmt auf A mit f überein.
- 2. f und h sind durch eine  $\varepsilon$ -kleine Homotopie relativ zu A verbunden.

#### **Beweis**

N habe eine glatte Einbettung  $\iota: N \hookrightarrow \mathbb{R}^k$ . Da N kompakt ist, existiert für jedes  $\varepsilon > 0$  ein  $\delta > 0$ , sodass für alle  $p, q \in N$  gilt

$$||\iota(p) - \iota(q)|| < \delta \Longrightarrow d(p,q) < \varepsilon$$

d. h.,  $\iota^{-1}$  ist gleichmäßig stetig.

Dies motiviert im Folgenden  $||\cdot||$  auf  $\mathbb{R}^k$  statt d auf N zu betrachten.

Wir fixieren ein  $\varepsilon > 0$ . Der Satz über Tubenumgebungen impliziert die Existenz einer  $\frac{\delta}{2}$ -Umgebung  $U \overset{o}{\subset} \mathbb{R}^k$  von  $\iota(N)$ , sodass  $U \cong E(\frac{\delta}{2})$ , wobei E das Normalenbündel zu  $\iota$  war.

Aus der vorhergenden Proposition folgt nun die Existenz einer glatten Abbildung  $g: M \to \mathbb{R}^k$ , die  $\frac{\delta}{2}$ -klein und relativ zu A homotop zu  $\iota \circ f$  ist. Das Bild von g liegt dann ganz in U.

Sei  $r:U\to N$  ein glatter Deformationsrektrakt. Wir können fordern, dass diese eine  $\frac{\varepsilon}{2}$ -kleine Homotopie induziert. Dann ist  $r\circ g$  glatt und homtop zu f via einer  $\varepsilon$ -kleinen Homotopie relativ zu A.

# 4.1.3 Bemerkung

• Der Metrisierbarkeitssatz von Smirnov besagt.

Ist X ein parakompakter, lokal metrisierbarer Hausdorffraum, so ist X global metrisierbar.

Insbesondere sind Mannigfaltigkeiten immer metrisierbar.

• Sei  $f: M \to S^n$  eine stetige Abbildung.  $m = \dim M < n$ . Der Glatte Approximationssatz impliziert nun die Existenz einer glatten Abbildung  $f: M \to S^n$ , die homotop zu f ist.

Der Satz von Sard proklamiert nun die Existenz eines regulären Wert  $p \in S^n$  von g. Da m < n, folgt aber hieraus

$$p \notin g(M)$$

 $S^n - p \cong \mathbb{R}^n$ , ergo erhalten wir eine glatte Abbildung  $g: M \to \mathbb{R}^n$ . Hieraus folgt aber, dass g nullhomotop ist. Insbesondere ist auch f nullhomotop. D. h., eine stetige Abbildung von einer glatten Mannigfaltigkeit in eine höherdimensionale Sphäre ist immer null-homotop.

•  $\partial D^{n+1} = S^n$  ist kein Retrakt von  $D^{n+1}$ . Denn angenommen, es gäbe eine Retraktion  $r: D^{n+1} \to S^n$ . Definiere

$$D_{\leq \frac{1}{2}}^{n+1} = \left\{ x \in \mathbb{R}^{n+1} \mid ||x|| \leq \frac{1}{2} \right\} \text{ und } \partial D_{\leq \frac{1}{2}}^{n+1} = S_{\frac{1}{2}}^{n}$$

Analog erhalten wir  $r_{\frac{1}{2}}:D^{n+1}_{\leq \frac{1}{2}}\to S^n_{\frac{1}{2}}.$  Betrachte ferner

$$p: \mathbb{R}^{n+1} \to S^n, x \mapsto \frac{x}{||x||}$$

Definiere nun

$$f: \mathbb{R}^{n+1} \longrightarrow S^n$$

$$x \longmapsto \begin{cases} p(r_{\frac{1}{2}}(x)) & ||x|| \leq \frac{1}{2} \\ p(x) & ||x|| \geq \frac{1}{2} \end{cases}$$

f ist glatt in einer kleinen Umgebung vom  $S^n$ . Betrachte

$$f_{|D^{n+1}} \longrightarrow S^n$$

Diese Abbildung ist stetig, ergo homotop zu einer glatten Abbildung  $g: D^{n+1} \to S^n$ , wobei  $f_{|S^n} = g_{|S^n}$ .

Mit dem Satz von Sard existiert ein regulärer Wert für g (und  $g_{|S^n}$ ).  $g^{-1}(p)$  ist dann eine glatte, kompakte Untermannigfaltigkeit der Dimension 1

 $g^{-1}(p)$  ist dann eine glatte, kompakte Untermannigfaltigkeit der Dimension 1 mit Rand. Es gilt folgende Randformel

$$\partial q^{-1}(p) = (q^{-1}(p)) \cap \partial D^{n+1}$$

Dann ist  $g^{-1}(p)$  eine endliche Vereinigung von Kreisen in  $\operatorname{int}(D^n)$  und kompakten Intervallen mit Randpunkten in  $S^n$ . Allerdings gilt

$$\partial g^{-1}(p) = \{p\}$$

da g die ganze Faser  $g^{-1}(p)$  auf p schickt und g auf  $S^n$  die Identität ist. Deswegen kann die Zahl der Randpunkte von  $g^{-1}(p)$  nicht gerade sein.

### 4.1.4 Lemma

Sei  $(M, \partial M)$  eine berandete Mannigfaltigkeit,  $g: M \to N$  glatt.  $p \in N$  sei regulär für g und für  $g_{|\partial M}$ . Dann gilt

$$\partial g^{-1}(p) = g^{-1}(p) \cap \partial M$$

### 4.1.5 Beispiel

Betrachte  $g: D^2 \to \mathbb{R}$  durch

$$g(x,y) = x^2 + y^2$$

p=1 ist ein regulärer Wert für g, aber nicht für  $g_{|S^1} \stackrel{\text{konst.}}{=} 1$ . Es gilt

$$g^{-1}(p) \cap \partial D^2 = S^1 \cap S^1 = S^1$$

aber

$$\partial q^{-1}(p) = \partial S^1 = \emptyset$$

# 4.1.6 Korollar: Brownscher Fixpunktsatz

Vorlesung vom 4.12.17

Jede stetige Abbildung  $f:D^n\to D^n$  hat einen Fixpunkt.

#### **Beweis**

Wir nehmen an,  $f:D^n\to D^n$  habe keinen Fixpunkt. Wir definieren dann folgende stetige Abbildung

$$r: D^n \longrightarrow S^{n-1}$$
  
 $x \longmapsto x + t(x - f(x))$ 

s.d.  $x + t(x - f(x)) \in S^{n-1}$ . Er ist insbesondere ein Retrakt auf  $S^{n-1}$ , da r die Identität auf  $S^{n-1}$  ist. Dies steht im Widerspruch zum obigen Satz.

#### 4.1.7 Korollar

Sphären sind nicht zusammenziehbar.

#### Beweis

Angenommen,  $S^n$  wäre zusammenziehbar. Dann existiert eine Homotopie

$$H: S^n \simeq p \in S^n$$

der folgendes Diagramm induziert

$$S^{n} \times I \xrightarrow{H} S^{n}$$

$$\downarrow^{Quot} \xrightarrow{\exists_{1}\overline{H}} S^{n}$$

$$S^{n} \times I/S^{n} \times \{1\}$$

Wir haben also eine stetige Abbildung

$$\overline{H}: D^{n+1} \longrightarrow S^n$$

wobei gilt

$$\overline{H}_{|S^n} = \mathrm{Id}_{S^n}$$

Ergo ist  $\overline{H}$  ein Retrakt von  $D^{n+1}$  auf  $S^n$ . Dies ist ein Widerspruch.

# 4.2 Homogenität von Mannigfaltigkeiten

Wir wollen Folgendes zeigen in diesem Kapitel.

#### 4.2.1 Satz

Sei M eine zusammenhängende, geschlossene Mannigfaltigkeit und  $p,q\in M$  beliebige Punkte. Dann existiert ein Diffeomorphismus  $\varphi:M\to M$ , der sogar isotop zur Identität ist, mit

$$\varphi(p) = q$$

#### 4.2.2 Lemma

Für  $p=0\in\mathbb{R}^n$  und  $q\in\mathbb{R}^n$  mit ||q||<1 existiert ein Diffeomorphismus  $\tau:\mathbb{R}^n\to\mathbb{R}^n$  mit

i. 
$$\tau(p) = q$$

ii. 
$$\tau(x) = x$$
 für alle  $x \in \mathbb{R}^n$  mit  $||x|| \ge 1$ 

iii.  $\tau$ ist isotop zu  $\mathrm{Id}_{\mathbb{R}^n}$ 

#### **Beweis**

Ohne Einschränkung liege  $q \in [0, 1)$  auf einer Achse. Wähle eine glatte Funktion  $\lambda : \mathbb{R}^n \to \mathbb{R}$  mit

$$\lambda(x) > 0$$
 für  $||x|| < 1$   
 $\lambda(x) = 0$  für  $||x|| \ge 1$ 

Sei  $v_0 \in S^{n-1}$ . Wir definieren folgendes Vektorfeld auf  $\mathbb{R}^n$ 

$$v(x) := \lambda(x) \cdot v_0$$

Dann ist v(x) = 0 für  $||x|| \ge 1$ .

Wir betrachten nun folgende gewöhnliche Differentialgleichung

$$\begin{cases} x'(t) = v(x(t)) \\ x(0) = x_0 \end{cases}$$

Diese hat lokal eine eindeutige Lösung x(t), die glatt von  $x_0$  abhängt. Hier existiert die Lösung für alle  $t \in \mathbb{R}$ , da v(x) außerhalb einer kompakten Menge verschwindet. Definiere

$$\tau_t(x_0) := x(t)$$

$$\tau_0(x_0) := x_0$$

Die  $\{\tau_t \mid t \in \mathbb{R}\}\subset \text{Diffeo}(\mathbb{R}^n)$  bilden dann eine Einparametergruppe von Diffeomorphismen. Es gilt

$$\{\tau_t(0) \mid t \in \mathbb{R}^n\} = [0, 1)$$

Ergo erfüllt eines der  $\tau_t$  die Voraussetzungen.

#### Beweis: Satz 4.2.1

Seien  $p, q \in M$ .

• Liegen p, q im Definitionsbereich einer Karte  $U \subset M$ , dann konstruieren wir ein Koordinatensystem x um p mit

$$x(p) = 0$$
  
 $x(q) = (\frac{1}{2}, 0, \dots, 0)$ 

Dann verwenden wir das  $\tau:U\to U$  aus dem vorhergehenden Lemma, um p auf q abzubilden und setzen  $\tau$  durch die Identität zu einem Diffeomorphismus auf M fort.

ullet Sind p,q beliebig auf M verteilt, so können wir M mit endlich vielen Karten überdecken und eine Sequenz von Punkten

$$p = p_0 \rightarrow p_1 \rightarrow p_2 \rightarrow \ldots \rightarrow p_k = q$$

finden, bei denen zwei hintereinander folgende Punkte in einer Karte liegen. Wir konstruieren nun induktiv Diffeomorphismen  $\tau: p \mapsto p_i$ .

# 4.3 Theorie der Abbildungsgrade

Seien M,N glatte, geschlossene Mannigfaltigkeiten derselben Dimension n. Sei  $f:M\to N$  eine glatte Abbildung.

Wir wollen f einen Abbildungsgrad deg  $f \in \mathbb{Z}/2\mathbb{Z}$  zuordnen, sodass gilt

$$\deg f = \deg g$$

für  $f \simeq g$ . Dadurch wird der Abbildungsgrad zu einer Homotopieinvariante von f. Sei  $p \in N$  ein regulärer Wert von f. Dann ist  $f^{-1}(p)$  eine nulldimensionale, kompakte Untermannigfaltigkeit von M, also eine endliche Menge von Punkten. Wir setzen

$$\deg_p f := \# f^{-1}(p) \mod 2$$

#### 4.3.1 Lemma

Seien  $f,g:M\to N$  glatt und sei  $H:M\times I\to N$  eine Homotopie von f nach g. Ist p ein regulärer Wert für f,g und H, so gilt

$$\deg_p f = \deg_p g \mod 2$$

#### **Beweis**

 $H^{-1}(p)$  ist eine kompakte eindimensionale Untermannigfaltigkeit von  $M \times I$  mit Rand

$$\partial H^{-1}(p) = \partial (M \times I) \cap H^{-1}(p) = f^{-1}(p) \times \{0\} \cup g^{-1}(p) \times \{1\}$$

 $H^{-1}(p)$  ist eine disjunkte Vereinigung von endlich vielen Kreisen und kompakten Intervallen. Daraus folgt

$$\#\partial H^{-1}(p) \equiv 0 \mod 2$$

Nun gilt aber

$$\#\partial H^{-1}(p) = \#f^{-1}(p) + \#g^{-1}(p)$$

Daraus folgt die Behauptung.

#### 4.3.2 Lemma

In Lemma 4.3.1 genügt es anzunehmen, dass p ein regulärer Wert für f und g ist.

#### **Beweis**

Auf einer hinreichend kleinen Umgebung eines Urbildes von p unter f ist f ein lokaler Diffeomorphismus, da p regulär ist und dim  $M=\dim N$ .

Also ist jeder Punkt, der hinreichend nahe bei p liegt, auch ein regulärer Wert von f und g.

Laut dem Satz von Sard existiert ein p' hinreichend nahe bei p, sodass p' ein regulärer Wert von H ist. p' ist dann insbesondere regulär für f und g.

#### 4.3.3 Lemma

Sei N zusammenhängend. Seien p,q reguläre Werte von f. Dann gilt

$$\deg_p f = \deg_q f \mod 2$$

#### **Beweis**

Aus der Homogenität von N folgt die Existenz eines Diffeomorphismus  $\tau: p \mapsto q,$  der isotop zur Identität ist. Es gilt

$$(\tau f)^{-1}(q) = f^{-1}(p)$$

Nun gilt

$$\deg_q f \equiv \deg_q \tau \circ f = \deg_p f \mod 2$$

# 4.4 Orientierungen

Seien V, W reelle Vektorräume der Dimension n.

Vorlesung vom 8.12.17

#### 4.4.1 Definition

Eine **Orientierung** von V ist die Äquivalenzklasse einer geordneten Basis  $(\alpha_1, \ldots, \alpha_n)$  von V, wobei zwei geordnete Basen  $(\alpha_1, \ldots, \alpha_n)$  und  $(\beta_1, \ldots, \beta_n)$  genau dann äquivalent sind, wenn die Determinante des Isomorphismus  $\Phi$ , der  $\alpha_i$  auf  $\beta_i$  abbildet, positiv ist.

# 4.4.2 Bemerkung

Ist n > 0, so hat V genau eine Orientierung. Anderenfalls hat V genau eine Orientierung.

### 4.4.3 Definition

Die kanonische Orientierung von  $\mathbb{R}^1$  ist gegeben durch

$$[(+1)]$$

# 4.4.4 Bemerkung

Sind V und W orientiert<sup>1</sup>, so ist auch  $V \oplus W$  orientiert. D. h.

$$V : [(\alpha_1, \dots, \alpha_n)]$$

$$W : [(\beta_1, \dots, \beta_n)]$$

$$V \oplus W : [(\alpha_1, \dots, \alpha_n, \beta_1, \dots, \beta_n)]$$

Insbesondere ist  $\mathbb{R}^n$  kanonisch orientiert.<sup>2</sup>

#### 4.4.5 Definition

Eine **stabile Orientierung** von V ist eine Orientierung  $V \oplus \mathbb{R}^1$ . <sup>3</sup>

<sup>&</sup>lt;sup>1</sup>Ein **orientierter** Vektorraum ist ein Vektorraum zusammen mit einer fixierten Orientierung. <sup>2</sup>Haben  $V \oplus W$  und  $W \oplus V$  dieselbe Orientierung?

<sup>&</sup>lt;sup>3</sup>Also eigentlich eine von  $V \oplus \mathbb{R}^n$  für n > 0. Beachte, dass  $\mathbb{R}^n$  kanonisch orientiert ist für alle n > 0, und diese Orientierungen können kompatibel gewählt werden, d. h.,  $\mathbb{R}^n \oplus \mathbb{R}^m \cong \mathbb{R}^{n+m}$  ist kanonisch orientiert, wenn  $\mathbb{R}^n$  und  $\mathbb{R}^m$  beide kanonisch bzw. antikanonisch orientiert sind.

### 4.4.6 Bemerkung

Jeder Vektorraum hat genau zwei stabile Orientierungen.

# 4.4.7 Beispiel

Der nulldimensionale Vektorraum hat die beiden stabilen Orientierungen

$$[(+1)]$$
 und  $[(-1)]$ 

die wir kurz auch einfach nur als + und - bezeichnen werden.

# 4.4.8 Prinzip

Sind zwei der Elemente aus  $\{V, W, V \oplus W\}$  stabil orientiert, so ist auch das dritte auf kanonische Weise stabil orientiert.

# 4.4.9 Beispiel

Es sei V=0.  $W=\mathbb{R}^1$  kanonisch orientiert.  $V\oplus W=\mathbb{R}^1$  sei antikanonisch orientiert<sup>4</sup>. Dann erhält V die stabile Orientierung -.

#### 4.4.10 Definition

Ein Vektorraumhomomorphismus  $\Phi: V \to W$  heißt **orientierungserhaltend**, falls

$$[(\Phi(\alpha_1),\ldots,\Phi(\alpha_n))] = [(\beta_1,\ldots,\beta_n)]$$

Anderenfalls heißt  $\Phi$  orientierungsumkehrend.

#### 4.4.11 Definition

Sei  $p:E\to B$  ein Vektorraumbündel von Rang n mit lokaler Trivialisierung

$$p^{-1}(U_{\alpha}) \stackrel{\varphi_{\alpha}}{\longrightarrow} U_{\alpha} \times \mathbb{R}^n$$

Eine **Orientierung** von p ist eine Familie von Orientierungen der  $p^{-1}(b), b \in B$ , sodass alle

$$p^{-1}(b) \xrightarrow{\varphi_{\alpha}} \{b\} \times \mathbb{R}^n$$

<sup>&</sup>lt;sup>4</sup>An dieser Stelle ist es wichtig zu erwähnen, dass der kanonische Isomorphismus  $V \oplus W \cong \mathbb{R}^1$  hier orientierungserhaltend gewählt ist.

orientierungserhaltend sind, wobei  $\{b\} \times \mathbb{R}^n$  kanonisch orientiert ist. Dies ist genau dann der Fall, wenn die Übergangsfunktionen

$$\varphi_{\alpha\beta}: U_{\alpha} \cap U_{\beta} \longrightarrow \mathrm{GL}_n(\mathbb{R})$$

nur orientierungserhaltende Isomorphismen als Bilder annehmen, d. h.

$$\det \varphi_{\alpha\beta}(x) > 0 \quad \forall x \in U_{\alpha} \cap U_{\beta}$$

# 4.4.12 Bemerkung

Ein orientierbares Vektorraumbündel mit einem zusammenhängenden Basisraum hat genau zwei stabile Orientierungen.

Denn, seien  $\alpha, \beta$  zwei Orientierungen von  $p: E \to B$ . Die Menge der  $b \in B$  an denen  $\alpha$  und  $\beta$  übereinstimmen ist offen. Die Menge, in denen sich  $\alpha$  und  $\beta$  unterscheiden ist aber auch offen. Allgemein können wir eine Orientierung als eine stetige Abbildung

or : 
$$B \longrightarrow \{+, -\}$$

auffassen.

### 4.4.13 Beispiel

Das Möbiusbündel ist nicht orientierbar.

# 4.4.14 Prinzip

Sind zwei Elemente aus der Menge der Vektorbündel  $E, E', E \oplus E'$  über B orientiert, so bestimmt dies eindeutig und kanonisch eine Orientierung des Dritten.

# 4.4.15 Bemerkung

Vektorraumbündel über nullhomotopen Basisräumen sind immer orientierbar.

#### **Beweis**

Definiere

$$\widehat{X} := \left\{ (x, \alpha) \mid x \in X, \alpha : \text{ Orientierung von } p^{-1}(x) \right\}$$

Dies liefert eine Überlagerung von Grad 2.

# 4.4.16 Proposition

Sei M eine glatte Mannigfaltigkeit. M ist genau dann orientierbar, wenn  $\mathcal{T}M$  orientierbar ist.

#### **Beweis**

Die  $\varphi_{\alpha\beta}$  sind gerade die Jacobimatrizen der Kartenwechsel.

# 4.4.17 Bemerkung

Sei  $(M, \partial M)$  eine glatte berandete Mannigfaltigkeit. Es gilt

$$\mathcal{T}M_{|\partial M} = \mathcal{T}(\partial M) \oplus \mathbb{R}^1$$

Denn auf  $\partial M$  können wir einen Schnitt angeben, indem wir einen Vektor im Tangentialraum identifizieren, der vom Rand nach **innen** rein geht.

Ist M orientiert, so ist es auch  $\mathcal{T}M$ , dadurch auch  $\mathcal{T}\partial M$  und ergo auch  $\partial M$ . Beachte, dass wir immer den nach innen weisenden Randvektor für  $\mathbb{R}^1$  instrumentalisieren.

#### 4.4.18 Definition

Seien M, N geschlossene orientierte glatte Mannigfaltigkeiten der Dimension n.  $f: M \to N$  sei glatt.

Sei ferner  $p \in N$  ein regulärer Wert von f. Definiere

$$\deg_p f := \sum_{q \in f^{-1}(p)} \varepsilon_q$$

wobei

$$\varepsilon_q := \begin{cases} +1 & \mathrm{d} f_q : T_q M \to T_p N \text{ ist orientierungserhaltend} \\ -1 & \mathrm{d} f_q : T_q M \to T_p N \text{ ist orientierungsumkehrend} \end{cases}$$

# 4.4.19 Bemerkung

Wie im nicht orientierten Fall zeigt man, dass  $\deg_p f$  unabhängig von p und eine Homotopieinvariante bzgl. f ist.

Denn ist M orientiert,  $f \simeq g$ , so ist  $M \times I$  orientiert, da I kanonisch orientiert ist. Ergo ist auch  $f^{-1}(p)$  orientiert, da  $\partial H^{-1}(p)$  orientiert ist. Alle Punkte in  $f^{-1}(p)$  und  $g^{-1}(p)$  haben eine Orientierung. Ihre Epsilonwerte subtrahieren sich zu Null.

# 4.5 Anwendungen des Abbildunggrades

Im Folgenden seien M,N geschlossene glatte orientierte Mannigfaltigkeiten der Dimension n.

Vorlesung vom 11.12.17

#### 4.5.1 Lemma

Sei  $f: M \to N$  glatt. Ist  $\deg f \neq 0$ , dann ist f surjektiv.

#### **Beweis**

Wäre f nicht surjektiv, dann wählen wir  $p \in N - f(M)$ . Damit ist p regulär und es gilt

$$\deg f = \deg_p f = 0$$

# 4.5.2 Satz: Fundamentalsatz der Algebra

Jedes nichtkonstante komplexe Polynom hat eine Nullstelle.

#### **Beweis**

Sei  $f:\mathbb{C}\to\mathbb{C}$  ein nichtkonstantes komplexes Polynom. Ohne Einschränkung hat f folgende Gestalt

$$f(z) = z^{n} + a_{n-1}z^{n-1} + \ldots + a_{1}z + a_{0}$$

Es gilt notorischerweise

$$\lim_{z \to \infty} f(z) = \infty$$

finduziert somit eine stetige Fortsetzung  $\overline{f}$ auf der Ein-Punkt-Kompaktifizierung von  $\mathbb{C}.$ 

$$\overline{f}: \mathbb{C} \cup \{\infty\} \longrightarrow \mathbb{C} \cup \{\infty\}$$
$$z \in \mathbb{C} \longmapsto f(z)$$
$$\infty \longmapsto \infty$$

Wir fassen im Folgenden  $\mathbb{C} \cup \infty$  als  $S^2$  auf. Wir wollen den Abbildungsgrad von  $\overline{f}$  bestimmen. Betrachte hierzu folgende Homotopie

$$H: S^2 \times I \longrightarrow S^2$$
  
 $(z,t) \longmapsto z^n + a_{n-1}tz^{n-1} + \ldots + a_1tz + a_0t$ 

hierdurch werden  $\overline{f}$  und  $\overline{g}$  homotop für  $g(z):=z^n$ . Ergo haben  $\overline{f}$  und  $\overline{g}$  den selben Abbildungsgrad. Der Abbildungsgrad von  $\overline{g}$  ist gerade n. Betrachte zum Beispiel den regulären Wert 1. Dieser hat n n-te Einheitswurzeln.

Ergo verschwindet der Abbildungsgrad von  $\overline{f}$  nicht, ergo ist  $\overline{f}$  surjektiv, ergo ist f surjektiv, ergo hat f eine Nullstelle.

# 4.5.3 Bemerkung

Es liegt folgender Isomorphismus vor

$$\begin{cases} \text{punktierte Homotopieklassen von} \\ \text{stetigen Abbildungen } f: S^n \to S^n \end{cases} \stackrel{\cong}{\longrightarrow} \mathbb{Z}$$

$$[f] \longmapsto \deg f$$

# Kapitel 5

# GLATTE DIFFERENTIALFORMEN UND DE RHAM KOHOMOLOGIE

# Motivation

Für jede glatte Funktion  $f:U\overset{o}{\subset}\mathbb{R}\to\mathbb{R}$  existiert eine glatte **Stammfunktion**  $F:U\to\mathbb{R},$  d. h.

$$\frac{\mathrm{d}}{\mathrm{d}x}F = f$$

Kann das auf Funktionen in mehreren Veränderlichen verallgemeinert werden? Betrachten wir hierzu eine glatte Abbildung

$$f: U \stackrel{o}{\subset} \mathbb{R}^2 \longrightarrow \mathbb{R}^2$$

Frage Existiert ein Potential  $F: U \to \mathbb{R}$  sodass

$$f = (\frac{\mathrm{d}}{\mathrm{d}x}F, \frac{\mathrm{d}}{\mathrm{d}y}F) =: (f_1, f_2)$$

Wenn ja, dann gilt auch

$$\frac{\mathrm{d}f_1}{\mathrm{d}y} = \frac{\mathrm{d}^2 F}{\mathrm{d}x\mathrm{d}y} = \frac{\mathrm{d}^2 F}{\mathrm{d}y\mathrm{d}x} = \frac{\mathrm{d}f_2}{\mathrm{d}x}$$

Dadurch erhalten wir folgende notwendige Bedingung

$$\frac{\mathrm{d}f_1}{\mathrm{d}y} = \frac{\mathrm{d}f_2}{\mathrm{d}x}$$

**Frage** Ist diese Bedingung hinreichend? Schauen wir uns dazu folgendes Beispiel an:

$$f: \mathbb{R}^2 - 0 \longrightarrow \mathbb{R}^2$$
$$(x_1, x_2) \longmapsto \frac{1}{x_1^2 + x_2^2} (-x_2, x_1)$$

ferfüllt obige Bedingung. Angenommen es gäbe ein Potential  $F:\mathbb{R}^2-0\to\mathbb{R}$  für f. Betrachte

$$\int_0^{2\pi} \frac{\mathrm{d}}{\mathrm{d}\theta} F(\cos\theta, \sin\theta) \mathrm{d}\theta = F(\cos 2\pi, \sin 2\pi) - F(\cos 0, \sin 0) = 0$$

Andererseits gilt

$$\frac{\mathrm{d}}{\mathrm{d}\theta}F(\cos\theta,\sin\theta) = -\sin\theta \frac{\partial F}{\partial x_1}(\cos\theta,\sin\theta) + \cos\theta \frac{\partial F}{\partial x_2}(\cos\theta,\sin\theta)$$
$$= \frac{\sin^2\theta}{\cos^2\theta + \sin^2\theta} + \frac{\cos^2\theta}{\cos^2\theta + \sin^2\theta} = 1$$

woraus folgen würde

$$\int_0^{2\pi} \frac{\mathrm{d}}{\mathrm{d}\theta} F(\cos\theta, \sin\theta) \mathrm{d}\theta = \int_0^{2\pi} 1 \mathrm{d}\theta = 2\pi$$

Dies ist ein Widerspruch, ergo ist obige Bedingung nicht hinreichend.

#### 5.0.1 Definition

Eine Menge  $U \subset \mathbb{R}^n$  heißt **sternförmig** bzgl.  $x_0 \in U$ , wenn für alle  $x \in U$  die Strecke

$$\{tx + (1-t)x_0 \mid t \in [0,1]\}$$

in U enthalten ist.

# 5.0.2 Proposition

Ist  $U \subset \mathbb{R}^2$  sternförmig und erfüllt die glatte Funktion  $f: U \to \mathbb{R}^2$  die Bedingung

$$\frac{\mathrm{d}f_1}{\mathrm{d}x_2} = \frac{\mathrm{d}f_2}{\mathrm{d}x_1}$$

dann hat f ein Potential auf U.

#### Beweis

Ohne Einschränkung ist  $x_0 = 0$  das Zentrum von U. Dann setzen wir

$$F(x_1, x_2) = \int_0^1 x_1 f_1(tx_1, tx_2) + x_2 f_2(tx_1, tx_2) dt$$

## 5.0.3 Bemerkung

Die Existenz eines Potentials hängt also irgendwie von der Topologie der Definitionsmenge ab.

## Umformulierung

Sei  $U \subset \mathbb{R}^2$ . Wir definieren den **Gradient** durch

$$\nabla: C^{\infty}(U, \mathbb{R}) \longrightarrow C^{\infty}(U, \mathbb{R}^2)$$
$$f \longmapsto \left(\frac{\mathrm{d}f}{\mathrm{d}x_1}, \frac{\mathrm{d}f}{\mathrm{d}x_2}\right)$$

Die Rotation definieren wir durch

rot : 
$$C^{\infty}(U, \mathbb{R}^2) \longrightarrow C^{\infty}(U, \mathbb{R})$$
  
 $f_1, f_2 \longmapsto \frac{\mathrm{d}f_1}{\mathrm{d}x_2} - \frac{\mathrm{d}f_2}{\mathrm{d}x_1}$ 

Es gilt dann

$$rot \circ \nabla = 0$$

D. h.,  $Bild\nabla \subset Kern$  rot. Wir definieren die **erste Kohomologiegruppe** von U durch

$$H^1(U):={\sf Kern}\ {\rm rot}/{\sf Bild}\nabla$$

## 5.0.4 Beispiel

Wir wissen bereits

$$H^1(\text{sternf\"{o}rmig}) = 0$$

und

$$H^1(\mathbb{R}^2 - 0) \neq 0$$

## 5.1 Äußere Algebren

Sei V ein endlich dimensionaler reeller Vektorraum. Es bezeichne  $V^k$  das k-fache kartesische Produkt von V mit Vektorraumstruktur.

#### 5.1.1 Definition

Eine k-lineare Abbildung  $\omega: V^k \to \mathbb{R}$  heißt **alternierend**, wenn

$$\omega(v_1,\ldots,v_k)=0$$

für alle  $v_1, \ldots, v_k$ , in denen ein Vektor  $v_i$  mindestens an zwei Stellen vorkommt. Das ist äquivalent dazu zu fordern, dass  $\omega$  für alle linear abhängige System  $v_1, \ldots, v_k$  verschwindet.

## 5.1.2 Bemerkung

Für ein alternierendes  $\omega$  gilt

$$\omega(v_1,\ldots,v_i,\ldots,v_i,\ldots,v_k) = -\omega(v_1,\ldots,v_i,\ldots,v_i,\ldots,v_k)$$

#### 5.1.3 Definition

Unter  $Alt^k(V) \subset \mathsf{Hom}_{\mathbb{R}}\left(V^k,\mathbb{R}\right)$  verstehen wir den reellen Vektorraum der alternierenden Formen. Wir legen ferner folgende Konvention fest

$$Alt^0(V) := \mathbb{R}$$

## 5.1.4 Beispiel

Ist  $k = \dim V$ , so ist  $Alt^k(V)$  eindimensional und wird von der Determinante erzeugt.

#### 5.1.5 Lemma

- 1.)  $Alt^k(V) = 0$  für  $k > \dim V$
- 2.)  $\omega(v_1, \ldots, v_n) = \operatorname{sgn}(\sigma) \cdot \omega(v_{\sigma(1)}, \ldots, v_{\sigma(n)})$ für eine Permutation  $\sigma \in S_k = \operatorname{Bij}(\{1, \ldots, k\}, \{1, \ldots, k\})$

## 5.2 Äußeres Produkt

Wir wollen ein Produkt auf dem System der  $Alt^k(V)$  konstruieren.

$$\wedge: Alt^p(V) \times Alt^q(V) \longrightarrow Alt^{p+q}(V)$$

Für p = q = 1 legen wir fest

$$(\omega_1 \wedge \omega_2)(v_1, v_2) = \omega_1(v_1)\omega_2(v_2) - \omega_1(v_2)\omega_2(v_1)$$

#### 5.2.1 Definition

Eine Permutation  $\sigma \in S_{p+q}$  heißt (p,q)-Shuffle, wenn gilt

$$\sigma(1) < \sigma(2) < \ldots < \sigma(p)$$
  
und  $\sigma(p+1) < \sigma(p+2) < \ldots \sigma(p+q)$ 

Ein (p,q)-Shuffle ist eindeutig durch sein Verhalten auf  $\{1,\ldots,p\}$  festgelegt. Daraus folgt

$$\#S_{p,q} = \binom{p+q}{p}$$

wobei  $S_{p,q} \subset S_{p+q}$  die Menge aller (p,q)-Shuffles bezeichnet.

#### 5.2.2 Definition

Seien p, q beliebig,  $\omega_1 \in Alt^p(V), \omega_2 \in Alt^q(V)$ . Wir definieren das **Wedge-Produkt** der beiden Funktionale durch

$$(\omega_1 \wedge \omega_2)(v_1, \dots, v_{p+q}) := \sum_{\sigma \in S_{p,q}} \operatorname{sgn}(\sigma) \omega_1(v_{\sigma(1)}, \dots, v_{\sigma(p)}) \omega_2(v_{\sigma(p+1)}, \dots, v_{\sigma(p+q)})$$

Dann erhalten wir eine bilineare Abbildung

$$\wedge: Alt^p(V) \otimes Alt^q(V) \longrightarrow Alt^{p+q}(V)$$

Es gilt ferner

$$(\omega_1 \wedge \omega_2)(v_1, \dots, v_{p+q}) = \frac{1}{p!q!} \sum_{\sigma \in S_{p+q}} \operatorname{sgn}(\sigma) \omega_1(v_{\sigma(1)}, \dots, v_{\sigma(p)}) \omega_2(v_{\sigma(p+1)}, \dots, v_{\sigma(p+q)})$$

#### 5.2.3 Lemma

Vorlesung vom

15.12.17

Das Wedge-Produkt ist assoziativ, bilinear und ein graduiert kommutatives Produkt, d. h.

i. 
$$(\omega_1 \wedge \omega_2) \wedge \omega_3 = \omega_1 \wedge (\omega_2 \wedge \omega_3)$$

ii. 
$$(\omega_1 + \omega_2) \wedge \omega_3 = \omega_1 \wedge \omega_3 + \omega_2 \wedge \omega_3$$

iii. 
$$(\lambda \omega_1) \wedge \omega_2 = \lambda(\omega_1 \wedge \omega_2) = \omega_1 \wedge (\lambda \omega_2)$$

iv. 
$$\omega_1 \wedge \omega_2 = (-1)^{pq} (\omega_2 \wedge \omega_1)$$

für 
$$\omega_1 \in Alt^p(V), \omega_2 \in Alt^q(V), \omega_3 \in Alt^t(V), \lambda \in \mathbb{R}.$$

#### 5.2.4 Definition

Setze

$$Alt^*(V) = \bigcup_{p>0} Alt^p(V)$$

 $(Alt^*(V), +, \wedge)$  bildet eine graduierte  $\mathbb{R}$ -Algebra, die sogenannte **Äußere Algebra** von V. Sie ist graduiert kommutativ.

#### 5.2.5 Lemma

Für 1-Formen  $\omega_1, \ldots, \omega_p \in Alt^1(V)$  gilt

$$(\omega_1 \wedge \ldots \wedge \omega_p)(v_1, \ldots, v_p) = \det \begin{pmatrix} \omega_1(v_1) & \cdots & \omega_1(v_p) \\ \vdots & & \vdots \\ \omega_p(v_1) & \cdots & \omega_p(v_p) \end{pmatrix}$$

#### Beweis

Wir beweisen dies durch Induktion nach p.

Es sei p=2. Dann gilt

$$(\omega_1 \wedge \omega_2)(v_1, v_2) = \omega_1(v_1)\omega_2(v_2) - \omega_2(v_1)\omega_1(v_2) = \det \begin{pmatrix} \omega_1(v_1) & \omega_1(v_2) \\ \omega_2(v_1) & \omega_2(v_2) \end{pmatrix}$$

Im Induktionsschritt rechnen wir nun

$$\omega_1 \wedge (\omega_2 \wedge \ldots \wedge \omega_p)(v_1, \ldots, v_p) = \sum_j (-1)^{j+1} \omega_1(v_j)(\omega_2 \wedge \ldots \wedge \omega_p)(v_1, \ldots, \widehat{v_j}, \ldots, v_p)$$

die Aussage ergibt sich nun, indem man

$$\begin{pmatrix} \omega_1(v_1) & \cdots & \omega_1(v_p) \\ \vdots & & \vdots \\ \omega_p(v_1) & \cdots & \omega_p(v_p) \end{pmatrix}$$

nach der ersten Zeile entwickelt.

#### 5.2.6 Lemma

Sei  $\{e_1,\ldots,e_n\}$  eine Basis von V und  $\{\varepsilon_1,\ldots,\varepsilon_n\}$  die dazu duale Basis von  $Alt^1(V)=V^*$ . Dann ist

$$\{ \varepsilon_{i_1} \wedge \varepsilon_{i_2} \wedge \ldots \wedge \varepsilon_{i_p} \mid 1 \leq i_1 < i_2 < \ldots < i_p \leq n \}$$

eine Basis für  $Alt^p(V)$ . Insbesondere gilt

$$Alt_p(V) = \binom{n}{p}$$

#### **Beweis**

Es gilt nach Lemma 1 für  $1 \le j_1 < \ldots < j_p \le n$ 

$$(\varepsilon_{i_1} \wedge \varepsilon_{i_2} \wedge \dots \wedge \varepsilon_{i_p})(e_{j_1}, \dots, e_{j_p}) = \det \begin{pmatrix} \varepsilon_{i_1}(e_{j_1}) & \cdots & \varepsilon_{i_1}(e_{j_p}) \\ \vdots & & \vdots \\ \varepsilon_{i_p}(e_{j_1}) & \cdots & \varepsilon_{i_p}(e_{j_p}) \end{pmatrix}$$

$$= \det \begin{pmatrix} \delta_{i_1, j_1} & \cdots & \delta_{i_1, j_p} \\ \vdots & & \vdots \\ \delta_{i_p, j_1} & \cdots & \delta_{i_p, j_p} \end{pmatrix} = \begin{cases} \operatorname{sign}(\sigma) & \{i_1, \dots, i_p\} = \{j_1, \dots, j_p\} \text{ und } \exists \sigma \in S_p : \sigma(i_k) = j_k \\ 0 & \operatorname{sonst} \end{cases}$$

Insbesondere gilt für eine p-Form  $\omega \in Alt^p(V)$ 

$$\omega(e_{j_1}, \dots, e_{j_p}) = \sum_{i_1 < \dots < i_p} \omega(e_{i_1}, \dots, e_{i_p}) \cdot (\varepsilon_{i_1} \wedge \dots \wedge \varepsilon_{i_p})(e_{j_1}, \dots, e_{j_p})$$

Definiert man  $c_{i_1,\ldots,i_p} = \omega(e_{i_1},\ldots,e_{i_p})$ , so folgt mit der Linearität von  $\omega$ 

$$\omega = \sum_{i_1 < \dots < i_p} c_{i_1, \dots, i_p} (\varepsilon_{i_1} \wedge \dots \wedge \varepsilon_{i_p})$$

Ergo wird  $Alt^p(V)$  linear von den Produkten  $\varepsilon_{i_1} \wedge \ldots \wedge \varepsilon_{i_p}$  erzeugt. Diese Produkte sind linear unabhängig, denn wenn

$$\sum_{i_1 < \dots < i_p} b_{i_1, \dots, i_p} (\varepsilon_{i_1} \wedge \dots \wedge \varepsilon_{i_p}) = 0$$

für Koeffizienten  $b_{i_1,\dots,i_p} \in \mathbb{R}$ , dann gilt

$$b_{j_1,\dots,j_p} = \sum_{i_1 < \dots < i_p} b_{i_1,\dots,i_p} (\varepsilon_{i_1} \wedge \dots \wedge \varepsilon_{i_p}) (e_{j_1},\dots,e_{j_p}) = 0$$

für alle  $1 \leq j_1 < \dots j_p \leq n$ .

## 5.2.7 Beispiel

Für p = n ist  $Alt^p(V)$  eindimensional und erzeugt durch  $\varepsilon_1 \wedge \ldots \wedge \varepsilon_n$ .

# 5.3 Glatte Differentialformen auf Offenen Mengen im $\mathbb{R}^n$

Sei  $U \subseteq \mathbb{R}^n$  offen.

#### 5.3.1 Definition

Eine glatte **Differentialform** vom Grad p auf U ist eine glatte Abbildung

$$\omega: U \to Alt^p(\mathbb{R}^n) \cong \mathbb{R}^{\binom{n}{p}}$$

Es gilt

$$\omega = \sum_{i_1 < \dots < i_p} f_{i_1, \dots, i_p}(x) (\varepsilon_{i_1} \wedge \dots \wedge \varepsilon_{i_n})$$

für glatte Funktionen  $f_{i_1,\dots,i_p} \in C^{\infty}(U,\mathbb{R})$ .

Es bezeichne  $\Omega^p(U)$  den  $\mathbb{R}$ -Vektorraum aller glatten Differentialformen vom Grad p auf U.

Schreibweise Schreibt man für  $1 \le i_1 < \dots i_p \le n$ 

$$I = (i_1, \dots, i_p)$$

so schreibe man weiterhin

$$f_I = f_{i_1, \dots, i_p}$$

und

$$\varepsilon_I = \varepsilon_{i_1} \wedge \ldots \wedge \varepsilon_{i_n}$$

und

$$\omega = \sum_{I} f_{I} \varepsilon_{I}$$

## 5.3.2 Definition

Wir definieren **Richtungsableitungen** bei  $x \in U$ 

$$\mathcal{D}_x \omega : \mathbb{R}^n \longrightarrow Alt^p(\mathbb{R}^n)$$
$$e_i \longmapsto \frac{\mathrm{d}\omega}{\mathrm{d}x_i}(x) := \frac{\mathrm{d}}{\mathrm{d}t}\omega(x + te_i)_{|t=0}$$

Für  $\omega = \sum_{I} f_{I} \varepsilon_{I}$  ist

$$(\mathcal{D}_x \omega)(e_i) = \sum_I \frac{\partial f_I}{\partial x_i}(x)\varepsilon_I$$

#### 5.3.3 Definition

Mithilfe von  $\mathcal{D}_x$  definieren wir die **äußere Ableitung** 

$$d: \Omega^p(U) \longrightarrow \Omega^{p+1}(U)$$
  
 $\omega \longmapsto d\omega$ 

mit

$$(d\omega)(x)(v_1,\ldots,v_{p+1}) := \sum_{j=1}^{p+1} (-1)^{j+1} (\mathcal{D}_x\omega)(v_j)(v_1,\ldots,\widehat{v_j},\ldots,v_{p+1})$$

## 5.3.4 Beispiel

$$\mathbf{d}:\Omega^0(U)=C^\infty(U,\mathbb{R})\longrightarrow\Omega^1(U)$$
mit

$$\mathrm{d}f = \sum_{i=1}^{n} \frac{\partial f}{\partial x_i} \varepsilon_i$$

Insbesondere gilt für  $f = x_j$ 

$$\mathrm{d}x_i = \varepsilon_i$$

Insofern werden wir in Zukunft d $x_i$  statt  $\varepsilon_i$  schreiben und ferner

$$\varepsilon_I = \varepsilon_{i_1} \wedge \ldots \wedge \varepsilon_{i_p} = \mathrm{d} x_{i_1} \wedge \ldots \wedge \mathrm{d} x_{i_p} =: \mathrm{d} x_I$$

#### 5.3.5 Lemma

Für  $\omega = f \varepsilon_I$  gilt

$$d\omega = (df) \wedge \varepsilon_I$$

**Beweis** 

$$(d\omega)(x)(v_1,\ldots,v_{p+1}) = \sum_j (-1)^{j+1} (\mathcal{D}_x\omega)(v_j)(v_1,\ldots,\widehat{v_j},\ldots,v_p)$$

es gilt dabei mit  $v = \sum_{i=1}^{n} \varepsilon_i(v) e_i$ 

$$(\mathcal{D}_x\omega)(v) = \sum_{i=1}^n \varepsilon_i(v)\mathcal{D}_x(f\varepsilon_I)(e_i)$$

Ferner gilt

$$\sum_{i=1}^{n} \varepsilon_i(v) \frac{\partial f}{\partial x_i}(x) \varepsilon_I = \mathrm{d}f(x)(v) \varepsilon_I$$

Daraus folgt

$$(d\omega)(x)(v_1,\ldots,v_{p+1}) = \sum_j (-1)^{j+1} df(x)(v_j) \varepsilon_I(v_1,\ldots,\widehat{v_j},\ldots,v_{p+1})$$
$$= ((df)(x) \wedge \varepsilon_I)(v_1,\ldots,v_{p+1})$$

## 5.3.6 Lemma

Die Zusammensetzung

$$\Omega^p(U) \xrightarrow{\mathrm{d}} \Omega^{p+1}(U) \xrightarrow{\mathrm{d}} \Omega^{p+2}(U)$$

verschwindet.

#### **Beweis**

Es genügt dies für Formen der Gestalt  $\omega=f\varepsilon_I$  zu zeigen. Es gilt laut vorhergehendem Lemma

$$d\omega = df \wedge \varepsilon_I = \sum_{i=1}^n \frac{\partial f}{\partial x_i} \varepsilon_i \wedge \varepsilon_I$$

und

$$d(d\omega) = \sum_{i,j} \frac{\partial^2 f}{\partial x_i \partial x_j} \varepsilon_i \wedge \varepsilon_j \wedge \varepsilon_I = \sum_{i < j} \left( \frac{\partial^2 f}{\partial x_i \partial x_j} - \frac{\partial^2 f}{\partial x_j \partial x_i} \right) \varepsilon_j \wedge \varepsilon_i \wedge \varepsilon_I$$

Das verschwindet aber, da

$$\frac{\partial^2 f}{\partial x_i \partial x_j} = \frac{\partial^2 f}{\partial x_j \partial x_i}$$

#### 5.3.7 Definition

Vorlesung vom 18.12.17

Wir definieren ein äußeres Produkt auf der Menge der glatten Differentialformen durch

$$\wedge: \Omega^p(U) \times \Omega^q(U) \longrightarrow \Omega^{p+q}(U)$$
$$(\omega, \eta) \longmapsto [x \in U \mapsto \omega(x) \wedge \eta(x)]$$

Dies ist zulässig, da  $\omega \wedge \eta$  tatsächlich eine glatte Abbildung  $U \to Alt^{p+q}(\mathbb{R}^n)$  ist. Es gilt dann

$$(f \cdot \omega) \wedge \eta = f(\omega \wedge \eta) = \omega \wedge (f\eta)$$

und

$$f \wedge \omega = f \cdot \omega$$

#### 5.3.8 Lemma

Seien glatte Differentialformen  $\omega \in \Omega^p(U), \eta \in \Omega^q(U)$  gegeben. Dann gilt folgende **Produktregel** für Differentialformen

$$d(\omega \wedge \eta) = (d\omega) \wedge \eta + (-1)^p \omega \wedge (d\eta)$$

#### Beweis

Es genügt dies auf Ebene von erzeugenden Formen der Gestalt

$$\omega = f \varepsilon_I \text{ und } \eta = q \varepsilon_J$$

zu zeigen für  $I=(i_1,\ldots,i_p), J=(j_1,\ldots,j_q)$ . Es gilt

$$\omega \wedge \eta = (fg)\varepsilon_I\varepsilon_J$$

und deswegen

$$d(\omega \wedge \eta) = d(fg) \wedge \varepsilon_I \wedge \varepsilon_J$$

$$= \sum_i \frac{\partial (fg)}{\partial x_i} \varepsilon_i \wedge \varepsilon_I \wedge \varepsilon_J$$

$$= \sum_i \left( \frac{\partial f}{\partial x_i} g + f \frac{\partial g}{\partial x_i} \right) \varepsilon_i \wedge \varepsilon_I \wedge \varepsilon_J$$

$$= \sum_i \frac{\partial f}{\partial x_i} g \varepsilon_i \wedge \varepsilon_I \wedge \varepsilon_J + \sum_i f \frac{\partial g}{\partial x_i} \varepsilon_i \wedge \varepsilon_I \wedge \varepsilon_J$$

$$= g \cdot (df) \wedge \varepsilon_I \wedge \varepsilon_J + f \cdot (dg) \wedge \varepsilon_I \wedge \varepsilon_J$$

$$= (df) \wedge \varepsilon_I \wedge (g \cdot \varepsilon_J) + (-1)^p (f \cdot \varepsilon_I) \wedge (dg \wedge \varepsilon_J)$$

$$= d\omega \wedge \eta + (-1)^p \omega \wedge (d\eta)$$

#### 5.3.9 Definition

Wir definieren die Algebra der glatten Differentialformen durch

$$(\Omega^*(U) = \bigoplus_{p \ge 0} \Omega^p(U), +, \wedge, d)$$

 $(\Omega^*(U) = \bigoplus_{p \geq 0} \Omega^p(U), +, \wedge)$  ist eine graduiert-kommutative graduierte  $C^{\infty}(U, \mathbb{R})$ Algebra.  $(\Omega^*(U), d)$  ist ferner ein Komplex von  $\mathbb{R}$ -Vektorräumen, d. h.  $d^2 = 0$ .
Zwischen diesen beiden Strukturen existiert eine Interaktion<sup>1</sup>, nämlich ist d eine Derivation auf der Algebra, d. h., es gilt

$$d(\omega \wedge \eta) = (d\omega) \wedge \eta + (-1)^p \omega \wedge (d\eta)$$

## 5.3.10 Proposition: Eindeutigkeit von d

Es existiert genau eine Familie linearer Abbildungen

$$d:\Omega^p(U)\longrightarrow\Omega^{p+1}(U)$$

sodass gilt:

<sup>&</sup>lt;sup>1</sup>Im Englischen nennt man eine solche Struktur **D**ifferential **gr**aded **a**lgebra.

(i) 
$$df = \sum_{i} \frac{\partial f}{\partial x_i} dx_i$$
 für  $f \in \Omega^0(U)$ 

(ii) 
$$d^2 = 0$$

(iii) 
$$d(\omega \wedge \eta) = (d\omega) \wedge \eta + (-1)^p \omega \wedge (d\eta)$$
 für  $\omega \in \Omega^p(U), \eta \in \Omega^q(u)$ 

# 5.3.11 Beispiel: Klassische Integralsätze von Green, Stokes und Gauß

Betrachte  $U \overset{o}{\subset} \mathbb{R}^2$ . Alle nicht verschwindenden Gruppen von Differentialformen sind  $\Omega^0(U), \Omega^1(U), \Omega^2(U)$ . Ab  $p \geq 3$  verschwinden die Gruppen, da ab da die alternierenden Räume verschwinden. Es gilt für  $f \in \Omega^0(U) = C^{\infty}(U, \mathbb{R})$ 

$$df = \frac{\partial f}{\partial x_1} dx_1 + \frac{\partial f}{\partial x_2} dx_2 = \nabla f \cdot \begin{pmatrix} dx_1 \\ dx_2 \end{pmatrix}$$

Für  $\omega = f_1 dx_1 + f_2 dx_2 \in \Omega^1(U)$  gilt

$$d\omega = df_1 \wedge dx_1 + df_2 \wedge dx_2$$

$$= \left(\frac{\partial f_1}{\partial x_1} dx_1 + \frac{\partial f_1}{\partial x_2} dx_2\right) \wedge dx_1 + \left(\frac{\partial f_2}{\partial x_1} dx_1 + \frac{\partial f_2}{\partial x_2} dx_2\right) \wedge dx_2$$

$$= \left(\frac{\partial f_2}{\partial x_1} - \frac{\partial f_1}{x_2}\right) dx_1 \wedge dx_2$$

$$= \operatorname{rot}(f_1, f_2) dx_1 \wedge dx_2$$

Sei nun  $U \stackrel{o}{\subset} \mathbb{R}^3$ . Wir betrachten  $d: \Omega^1(U) \to \Omega^2(U)$  und  $\omega = f_1 dx_1 + f_2 dx_2 + f_3 dx_3$ . Es gilt

$$d\omega = \left(\frac{\partial f_2}{\partial x_1} - \frac{\partial f_1}{\partial x_2}\right) dx_1 \wedge dx_2 + \left(\frac{\partial f_3}{\partial x_2} - \frac{\partial f_2}{\partial x_3}\right) dx_2 \wedge dx_3 + \left(\frac{\partial f_1}{\partial x_3} - \frac{\partial f_3}{\partial x_1}\right) dx_3 \wedge dx_1$$

$$= \operatorname{rot}(f_1, f_2, f_3) \cdot \begin{pmatrix} dx_1 \wedge dx_2 \\ dx_2 \wedge dx_3 \\ dx_3 \wedge dx_1 \end{pmatrix}$$

Betrachte nun  $\omega = g_3 dx_1 \wedge dx_2 + g_1 dx_2 \wedge dx_3 + g_2 dx_3 \wedge dx_1 \in \Omega^2(U)$ . Es gilt

$$d\omega = \left(\frac{\partial g_1}{\partial x_1} + \frac{\partial g_2}{\partial x_2} + \frac{\partial g_3}{\partial x_3}\right) dx_1 \wedge dx_2 \wedge dx_3 = \operatorname{div}(g) dx_1 \wedge dx_2 \wedge dx_3$$

In der klassischen Physik gilt, was hier wg.  $d^2 = 0$  offensichtlich ist

$$rot \circ \nabla = 0$$
$$div \circ rot = 0$$

#### 5.3.12 Definition

Wir definieren die p-te Kohomologiegruppe der de Rham-Kohomologie durch

$$H^p(U) := \ker(\mathrm{d}: \Omega^p(U) \to \Omega^{p+1}(U)) / \mathsf{Bild}(\mathrm{d}: \Omega^{p-1}(U) \to \Omega^p(U))$$

Wir setzen ferner  $H^p(U) = \Omega^p(U) = 0$  für p < 0.

## 5.3.13 Bemerkung

$$H^{0}(U) = \ker d$$

$$= \{ f \in C^{\infty}(U, \mathbb{R}) \mid df = 0 \}$$

$$= \{ f \in C^{\infty}(U, \mathbb{R}) \mid \frac{\partial f}{\partial x_{i}} = 0 \}$$

$$= \{ f \in C^{\infty}(U, \mathbb{R}) \mid f \text{ ist lokal konstant auf } U \}$$

Daraus folgt

 $\dim_{\mathbb{R}} H^0(U) = \text{Zahl der Wegzusammenhangkomponenten von } U$ 

## 5.4 Das Äußere Produkt auf der Kohomologie

#### 5.4.1 Definition

Wir definieren auf den Kohomologiegruppen ein Produkt durch

$$\wedge: H^p(U) \times H^q(U) \longrightarrow H^{p+q}(U)$$
$$([\omega], [\eta]) \longmapsto [\omega \wedge \eta]$$

Dies ist wohldefiniert, denn für  $\omega \in \Omega^p(u), \eta \in \Omega^q(U)$  mit  $d\omega = 0, d\eta = 0$  gilt

$$d(\omega \wedge \eta) = (d\omega) \wedge \eta + (-1)^p \omega \wedge (d\eta) = 0$$

ergo liegt  $\omega \wedge \eta$  ebenfalls im Kern von d. Ferner gilt für andere Repräsentanten  $[\omega'] = [\omega], [\eta'] = [\eta]$ 

$$\omega' = \omega + d\alpha \text{ und } \eta' = \eta + d\beta$$

und somit

$$\omega' \wedge \eta' = (\omega + d\alpha) \wedge (\eta + d\beta)$$

$$= \omega \wedge \eta + d\alpha \wedge \eta + \omega \wedge d\beta + d\alpha \wedge d\beta$$

$$= \omega \wedge \eta + d(\alpha \wedge \eta + (-1)(\omega \wedge \beta) + (\alpha \wedge d\beta))$$

Insofern bildet  $(H^*(U), +, \wedge)$  eine graduiert-kommutative graduierte Algebra.  $\wedge$  nennt man in diesem Zusammenhang auch Cup-Produkt.

## 5.5 Funktorialität

## 5.5.1 Beispiel: Lineare Algebra

Seien V,W reelle Vektorräume und  $A:V\to W$  eine lineare Abbildung. Sei  $\eta\in Alt^p(W),v_1,\ldots,v_p\in V.$  Dann setze

$$\omega(v_1,\ldots,v_p) := \eta(A(v_1),\ldots,A(v_p))$$

Dann ist  $\omega \in Alt^p(V)$ . Setze  $Alt^p(A)(\eta) := \omega$ . Dadurch erhalten wir eine lineare Abbildung

$$Alt^p(A): Alt^p(W) \longrightarrow Alt^p(V)$$

Für eine weitere lineare Abbildung  $B:W\to P$  gilt

$$Alt^p(B \circ A) = Alt^p(A) \circ Alt^p(B)$$

Ferner gilt

$$Alt^p(\mathrm{Id}_V) = \mathrm{Id}_{Alt^p(V)}$$

Insofern liefern die  $(Alt^p)_p$  eine Familie kontravarianter Funktoren von der Kategorie der reellen Vektorräume in die Kategorie der reellen Vektorräume.

#### 5.5.2Definition

Vorlesung

Seien  $U_1 \subset \mathbb{R}^n, U_2 \subset \mathbb{R}^m$  offen und  $\varphi: U_1 \to U_2$  eine glatte Abbildung. Wir definieren vom folgenden Vektorraumhomomorphismus

22.12.17

$$\varphi^*: \Omega^p(U_2) \longrightarrow \Omega^p(U_1)$$
$$\eta \longmapsto Alt^p(\varphi_*)(\eta \circ \varphi)$$

D. h., für  $x \in U_1$  ist folgender Vektorraumhomomorphismus gegeben

$$\varphi^*(\eta)(x) : (\mathcal{T}_x U_1)^p \longrightarrow \mathbb{R}$$
$$(v_1, \dots, v_p) \longmapsto \eta(\varphi(x))(\varphi_{*,x} v_1, \dots, d\varphi_{*,x} v_p)$$

#### 5.5.3 Bemerkung

Die Zuweisung  $\varphi \mapsto \varphi^*$  ist funktoriell, d. h., es gilt

$$(\varphi \circ \psi)^* = \psi^* \circ \varphi^* \text{ und } \mathrm{Id}_U^* = \mathrm{Id}_{\Omega^p(U)}$$

#### 5.5.4 Bemerkung

Die Zuweisung  $\varphi \mapsto \varphi^*$  ist eindeutig durch folgende Rechenregeln bestimmt:

- $\varphi^*(f\omega) = f\varphi^*(\omega)$  für  $f \in \Omega^0(U_2)$
- $\varphi^*(\omega_1 \wedge \omega_2) = \varphi^*(\omega_1) \wedge \varphi^*(\omega_2)$
- $d \circ \varphi^* = \varphi^* \circ d$

#### 5.5.5 Beispiel

- $\varphi^*(\mathrm{d}x_i) = \mathrm{d}(\varphi^*(x_i)) = \mathrm{d}(x_i \circ \varphi) = \mathrm{d}\varphi_i$
- Sei  $\gamma:(a,b)\to U\overset{o}\subset\mathbb{R}^n$  eine glatte Kurve,  $\omega=f_1\mathrm{d} x_1+\ldots+f_n\mathrm{d} x_n$  sei eine 1-Differential form auf U. Es gilt

$$\gamma^*(\omega) = \gamma^*(f_1) \wedge \gamma^*(\mathrm{d}x_1) + \ldots + \gamma^*(f_n) \wedge \gamma^*(\mathrm{d}x_n)$$
$$= f_1(\gamma(t))\mathrm{d}\gamma_1 + \ldots + f_n(\gamma(t))\mathrm{d}\gamma_n$$
$$= \langle f(\gamma(t)), \gamma'(t) \rangle \, \mathrm{d}t$$

• Für die Volumenform  $dx_1 \wedge \ldots \wedge dx_n$  von  $U_2$  gilt

$$\varphi^*(\mathrm{d}x_1 \wedge \dots \wedge \mathrm{d}x_n) = \mathrm{d}\varphi_1 \wedge \dots \wedge \mathrm{d}\varphi_n$$

$$= \left(\sum_{i=1}^n \frac{\partial \varphi_1}{\partial x_i} \mathrm{d}x_1\right) \wedge \dots \wedge \left(\sum_{i=1}^n \frac{\partial \varphi_n}{\partial x_i} \mathrm{d}x_1\right)$$

$$= \det\left(\left(\frac{\partial \varphi_i}{\partial x_j}\right)_{i,j}\right) \mathrm{d}x_1 \wedge \dots \wedge \mathrm{d}x_n$$

$$= \det(J_\varphi) \mathrm{d}x_1 \wedge \dots \wedge \mathrm{d}x_n$$

• Betrachte die glatte Abbildung  $\varphi: U \times \mathbb{R} \to U, U \overset{\circ}{\subset} \mathbb{R}^n$ , mit

$$\varphi(x,t) = \psi(t) \cdot x$$

für eine glatte Funktion  $\psi: \mathbb{R} \to \mathbb{R}$ . Es gilt

$$\varphi^*(\mathrm{d}x_i) = \mathrm{d}\varphi_i = \mathrm{d}(\psi(t) \cdot x_i) = x_i \cdot \mathrm{d}\psi(t) + \psi(t) \cdot \mathrm{d}x_i = x_i \psi'(t) \mathrm{d}t + \psi(t) \mathrm{d}x_i$$

## 5.6 Pullback auf die de Rham-Kohomologie

Im Folgenden sei  $\varphi: U_1 \subset \mathbb{R}^n \to U_2 \subset \mathbb{R}^m$  immer eine glatte Abbildung.

#### 5.6.1 Definition

Eine Form  $\omega \in \Omega^p(U)$  heißt **geschlossen**, falls  $d\omega = 0$ .  $\omega$  heißt **exakt**, wenn es ein  $\eta \in \Omega^{p-1}(U)$  gibt, mit  $\omega = d\eta$ .

## 5.6.2 Bemerkung

 $\varphi:U_1\to U_2$  induziert einen Ringhomomorphismus

$$\varphi^*: H^*(U_2) \longrightarrow H^*(U_1)$$

da  $\varphi^*$  den Kern und das Bild von derhält. Dadurch folgt, dass die de Rham-Kohomologie ein kontravarianter Funktor ist.

#### 5.6.3 Satz: Poincare-Lemma

Sei  $U \subset \mathbb{R}^n$  offen und sternförmig. Dann gilt

$$H^p(U) \cong \begin{cases} 0 & p > 0 \\ \mathbb{R} & p = 0 \end{cases}$$

#### **Beweis**

 $\bullet$  Ohne Einschränkung sei 0 der Mittelpunkt des sternförmigen Gebietes U. Setze dann

$$ev: \Omega^0(U) \longrightarrow \mathbb{R}$$
  
 $\omega \longmapsto \omega(0)$ 

Wir wollen im Folgenden eine Kettenhomotopie  $s_p:\Omega^p(U)\to\Omega^{p-1}(U)$  konstruieren, für die gilt

$$ds_p + s_{p+1}d = \begin{cases} Id & p > 0\\ Id - ev & p = 0 \end{cases}$$

Dann folgt nämlich für  $\omega \in \Omega^p(U), p > 0$ ,

$$d\omega = 0 \Longrightarrow ds_p(\omega) = ds_p(\omega) + s_{p+1}d\omega = \omega$$

also $[\omega]=0,$ da  $\omega\in\mathsf{Bild}$ d. Ferner gilt für p=0

$$\omega - \omega(0) = s_1 d\omega = 0$$

also  $\omega = \omega(0)$  ist konstant.

• Eine Differentialform  $\omega \in \Omega^p(U \times \mathbb{R})$  hat die Gestalt

$$\omega = \sum_{I} f_{I}(x, t) dx_{I} + \sum_{J} g_{J}(x, t) dt \wedge dx_{J}$$

Definiere daher folgende Abbildung

$$\widehat{S}_p: \Omega^p(U \times \mathbb{R}) \longrightarrow \Omega^{p-1}(U)$$

$$\omega \longmapsto \sum_J (\int_0^1 g_J(x, t) dt) dx_J$$

Dann gilt

$$d\widehat{S}_p(\omega) + \widehat{S}_{p+1}(d\omega) = \sum_{I} \left( \int_0^1 \frac{\partial f_I}{\partial t} dt \right) dx_I = \sum_{I} \left( f_I(x, 1) - f_I(x, 0) \right) dx_I$$

 $\bullet$  Sei nun  $\psi:\mathbb{R}\to\mathbb{R}$ eine glatte Funktion mit

$$\psi(t) \in \begin{cases} \{0\} & t \le 0 \\ [0,1] & t \in [0,1] \\ \{1\} & t \ge 1 \end{cases}$$

Definiere dann

$$\varphi: U \times \mathbb{R} \longrightarrow U$$
$$(x,t) \longmapsto \psi(t) \cdot x$$

und setze

$$s_p(\omega) := \widehat{S}_p \circ \varphi^*(\omega)$$

Die so definierte Funktion tut das Gewünschte.

## 5.7 De Rham-Kohomologie von Glatten Mannigfaltigkeiten

Vorlesung 5.7.1 Definition vom 8.1.18

Sei M eine (kompakte) glatte Mannigfaltigkeit der Dimension n. Durch Whitneys Einbettungssatz erhalten wir eine glatte Einbettung  $M \subset \mathbb{R}^{2n+1}$ . Durch den Satz über Tubenumgebungen wissen wir um die Existenz einer offenen Umgebung U von M in  $\mathbb{R}^{2n+1}$ , sodass

$$U \cong E(\nu)$$

wobei  $E \stackrel{p}{\twoheadrightarrow} M$  der Totalraum des Normalenbündels ist. Dieser induziert einen Deformationsretrakt  $r: U \to M$ .

 $H^*$  soll eine Homotopieinvariante sein. Dies würde einen Isomorphismus

$$r^*: H^*(M) \xrightarrow{\sim} H^*(U)$$

implizieren. In diesem Sinne definieren wir die **Kohomologiegruppen** von M durch

$$H^k(M) := H^k(U)$$

Diese Definition hängt von der Einbettung von M ab. Insofern wäre es wünschenswert eine intrinsische Definition von  $H^*(M)$  zu finden.

#### 5.7.2 Definition

Sei M eine glatte Mannigfaltigkeit der Dimension n.

Wir betrachten Familien  $\omega = \{\omega_p\}_{p \in M}$  mit  $\omega_p \in Alt^k(T_pM)$ . Sei eine glatte Karte

$$\varphi: U' \stackrel{o}{\subset} M \stackrel{\sim}{\to} U \stackrel{o}{\subset} \mathbb{R}^n$$

gegeben. Betrachte für jedes  $p \in U'$  die Abbildung

$$Alt^k(\varphi_{*,\varphi(p)}^{-1}): Alt^k(T_pM) \xrightarrow{\sim} Alt^k(T_{\varphi(p)}U) \cong Alt^k(\mathbb{R}^n)$$

Wir definieren den Pullback von  $\omega$  durch

$$(\varphi^{-1})^*\omega: U \longrightarrow Alt^k(\mathbb{R}^n)$$
$$x \longmapsto Alt^k(\varphi_{x,*}^{-1})(\omega_{\varphi^{-1}(x)})$$

 $\omega$  heißt eine **glatte Differential-**k-**Form** auf M, wenn  $(\varphi^{-1})^*\omega$  für jede Karte  $\varphi$  glatt ist.

Es bezeichne  $\Omega^k(M)$  den reellen Vektorraum aller glatter Differential-k-Formen auf M.

#### 5.7.3 Definition

Die Karte  $\varphi$  von M induziert einen Isomorphismus

$$\varphi_{*,p}: T_pM \xrightarrow{\sim} T_xU$$

für  $x = \varphi(p)$ . Dadurch erhalten wir einen Isomorphismus

$$Alt^{k+1}(\varphi_{*,p}): Alt^{k+1}(T_xU) \xrightarrow{\sim} Alt^{k+1}(T_pM)$$

Wir können so folgende k+1-Form definieren

$$d\omega_p := Alt^{k+1}(\varphi_{*,p}) \left( d((\varphi^{-1})^* \omega)(\varphi(p)) \right)$$

Dadurch erhalten wir eine glatte Differentialform d $\omega$  auf M. Diese Definition ist unabhängig von der Wahl der Karte  $\varphi$ . Es gilt d<sup>2</sup> = 0 auf  $\Omega^*(M)$ . Wir erhalten folglich einen Kokettenkomplex ( $\Omega^*(M)$ , d).

#### 5.7.4 Definition

Die **de Rham-Kohomologie** von M ist definiert als die Kohomologie des Kokettenkomplexes  $(\Omega^*(M), d)$ , d. h.

$$H^{k}(M) := H^{k}(\Omega^{*}(M), \mathbf{d}) = \frac{\mathsf{Kern}(\mathbf{d} : \Omega^{k}(M) \to \Omega^{k+1}(M))}{\mathsf{Bildd} : (\Omega^{k-1}(M) \to \Omega^{k}(M))}$$

#### 5.7.5 Definition

Zu glatten Differentialformen  $\omega = \{\omega_p\}, \eta = \{\eta_p\}$  auf M definieren wir das **äußere Produkt** punktweise durch

$$(\omega \wedge \eta)_p := \omega_p \wedge \eta_p$$

 $\omega \wedge \eta$  ist wieder eine glatte Differentialform auf M. Ferner gilt hierfür offensichtlich wieder die Produktregel, d. h.

$$d(\omega \wedge \eta) = (d\omega) \wedge \eta + (-1)^k \omega \wedge d(\eta)$$

für  $\omega \in \Omega^k(M)$ . Wir erhalten dadurch wieder eine graduiert kommutative Algebra  $\Omega^*(M)$ .

Das äußere Produkt auf  $\Omega^*(M)$  steigt wie im affinen Fall wohldefiniert auf  $H^*(M)$  ab. Dadurch wird auch  $H^*(M)$  zu einer graduiert kommutativen Algebra.

#### 5.7.6 Definition

Sei  $\varphi: M \to N$  eine glatte Abbildung und  $\omega = \{\omega_q\}_{q \in N} \in \Omega^k(N)$  eine glatte Differentialform. Für einen Punkt  $p \in M$  erhalten wir eine lineare Abbildung

$$Alt^k(\varphi_{*,p}): Alt^k(T_{\varphi(p)}M) \longrightarrow Alt^k(T_pM)$$

In diesem Sinn setzen wir

$$(\varphi^*\omega)_p := Alt^k(\varphi_{*,p})(\omega_{\varphi(p)})$$

und erhalten eine glatte Differentialform

$$\varphi^*\omega := \{(\varphi^*\omega)_p\}_{p \in M}$$

auf M. Dadurch erhalten wir eine lineare Abbildung

$$\varphi^*: \Omega^k(N) \to \Omega^k(M)$$

Wie im affinen Fall ist die Zuweisung

$$M \longmapsto \Omega^k(M)$$
$$\varphi \longmapsto \varphi^*$$

ein kontravarianter Funktor.

Es gilt wieder

• 
$$\varphi^*(\omega \wedge \eta) = (\varphi^*\omega) \wedge (\varphi^*\eta)$$

• 
$$d_M \circ \varphi^* = \varphi^* \circ d_N$$

 $\varphi^*$ steigt wohldefiniert auf die Kohomologie ab und liefert Abbildungen

$$\varphi^*: H^k(N) \longrightarrow H^k(M)$$

Dadurch wird die de Rham-Kohomologie zu einem kontravarianten Funktor von der Kategorie der glatten Mannigfaltigkeiten in die Kategorie der reellen Vektorräume.

## 5.8 Integration auf Glatten Mannigfaltigkeiten

#### 5.8.1 Definition

Sei  $U \subset \mathbb{R}^n$  offen,  $\omega \in \Omega^n(U)$  sei eine *n*-Form. Wir definieren den **Träger** von  $\omega$  durch

$$\operatorname{supp}\omega := Cl_U\{x \in U \mid \omega_x \neq 0\}$$

wobei  $Cl_U$  den Abschluss einer Menge in U bezeichnet.

Hat  $\omega$  einen kompakten Träger, so hat  $\omega$  eine glatte Fortsetzung durch Null auf  $\mathbb{R}^n$ . Da  $\omega$  eine n-Form ist, hat es die Gestalt

$$\omega = f(x_1, \dots, x_n) dx_1 \wedge \dots \wedge dx_n$$

Wir definieren folgendes Integral zu  $\omega$ 

$$\int_{U} \omega := \int_{\mathbb{R}^n} \omega := \int_{\mathbb{R}^n} f \mathrm{d}x_1 \dots \mathrm{d}x_n$$

## 5.8.2 Bemerkung

Seien  $V, U \subset \mathbb{R}^n$  offen,  $\theta: V \to U$  ein Diffeomorphismus.

Sei ferner  $\omega = f dx_1 \wedge \dots dx_n \in \Omega^n(U)$  mit kompakten Träger. Dies induziert uns eine Differentialform  $\theta^* \omega \in \Omega^n(V)$ , welche ebenfalls kompakten Träger hat. Es gilt

$$\theta^*\omega = \theta^*(f dx_1 \wedge \ldots \wedge dx_n) = f \circ \theta \cdot \theta^*(dx_1 \wedge \ldots \wedge dx_n) = f \circ \theta \cdot \det(J_\theta) \cdot dx_1 \wedge \ldots \wedge dx_n$$

Es ergibt sich nun

$$\int_{V} \theta^{*} \omega = \int_{\mathbb{R}^{n}} f \circ \theta \cdot \det(J_{\theta}) \, dx_{1} \dots dx_{n}$$

$$\stackrel{\text{Traforegel in } \mathbb{R}^{n}}{=} \pm \int_{\mathbb{R}^{n}} f \, dx_{1} \dots dx_{n} = \pm \int_{U} \omega$$

Ist U zusammenhängend, so ist das Vorzeichen hier gerade das Vorzeichen der Jacobi-Determinante.

Ist  $\theta$  orientierungserhaltend und U zusammenhängend, so gilt also

$$\int_{V} \theta^* \omega = \int_{U} \omega$$

#### 5.8.3 Definition

Sei nun M eine glatte, orientierte Mannigfaltigkeit der Dimension n und  $\omega \in \Omega^n(M)$ . Sei  $\varphi : U' \to U$  eine orientierte Karte von M. Es gelte ferner

$$\operatorname{supp}(\omega) \subset U'$$
 ist kompakt

Wir setzen dann

$$\int_M \omega := \int_U (\varphi^{-1})^* \omega$$

Dies ist wohldefiniert. Ist nämlich  $\psi: U' \to U$  eine weitere orientierte Karte, so gilt

$$(\varphi^{-1})^* = (\varphi^{-1})^* \psi^* (\psi^{-1})^* \omega$$

Setzt man  $\psi \circ \varphi^{-1} =: \theta$ , so folgt mit obiger Bemerkung

$$\int_{U} (\varphi^{-1})^* \omega = \int_{U} (\psi^{-1})^* \omega$$

#### 5.8.4 Definition

Sei nun  $\omega \in \Omega^n(M)$  mit kompakten Träger. Im Allgemeinem liegt supp f nicht in einer einzelnen Karte von M.

Deswegen sei  $(f_i)_i$  eine glatte Partition der Eins auf M, sodass supp $f_i \subset U_i$ , wobei die Paare  $(U_i, \varphi_i)_i$  orientierte Karten seien, die suppf überdecken, und, bei denen  $\overline{U_i}$  kompakt ist.

Wir setzen

$$\int_{M} \omega := \sum_{i} \int_{M} f_{i} \omega$$

Dies ist ein wohldefiniertes Integral. Es ist unabhängig von der Wahl der Partition, denn sei  $(g_j)_j$  eine weitere Partition der Eins, dann gilt ja

$$f_i = \sum_j f_i g_j$$
 und  $g_j = \sum_i f_i g_j$ 

Ergo folgt

$$\sum_{i} \int f_{i}\omega = \sum_{i,j} \int f_{i}g_{j}\omega = \sum_{i} \int g_{j}\omega$$

## 5.9 Der Allgemeine Satz von Stokes

Vorlesung vom 12.1.18

#### 5.9.1 Definition

Sei  $(M, \partial M)$  eine n-dimensionale Mannigfaltigkeit mit Rand. M sei orientiert, dadurch ist auch  $\partial M$  orientiert.  $\iota: \partial M \to M$  bezeichne die Inklusion des Randes. Für  $\omega \in \Omega^*(M)$  erhalten wir unter  $\iota$  eine Pullbackform

$$\omega_{|\partial M} := \iota^* \omega \in \Omega^*(\partial M)$$

Wir nennen dies die Einschränkung auf den Rand von  $\omega$ .

## 5.9.2 Satz: Allgemeiner Satz von Stokes

Sei  $(M, \partial M)$  eine n-dimensionale orientierte Mannigfaltigkeit mit Rand.  $\omega \in \Omega^{n-1}(M)$  sei eine n-1-Form auf M mit kompakten Träger. Dann hat  $d\omega \in \Omega^n(M)$  kompakten Träger und es gilt

$$\int_M \mathrm{d}\omega = \int_{\partial M} \iota^* \omega$$

#### **Beweis**

Wir führen den Beweis in lokalen Koordinaten  $x_1, \ldots, x_n$ . Der Rand soll lokal beschrieben werden durch

$$\partial M = \{(x_1, \dots, x_n) \mid x_1 = 0\}$$

wobei allgemeine Punkte  $x_1 \leq 0$  erfüllen.

 $\omega$  habe die Gestalt

$$\omega = \sum_{j=1}^{n} f_j dx_1 \wedge \ldots \wedge \widehat{dx_j} \wedge \ldots \wedge dx_n$$

Es gilt nun

$$\iota^* \omega = \sum_{j=1}^n (f_j \circ \iota) (\mathrm{d}x_1 \circ \iota) \wedge \ldots \wedge (\widehat{\mathrm{d}x_j \circ \iota}) \wedge \ldots \wedge (\mathrm{d}x_n \circ \iota)$$

$$= (f_1)_{|\partial M} \mathrm{d}x_2 \wedge \ldots \wedge \mathrm{d}x_n$$

$$= f_1(0, x_2, \ldots, x_n) \mathrm{d}x_2 \wedge \ldots \wedge \mathrm{d}x_n$$

 $da x_1 \circ \iota = 0.$ 

Ohne Einschränkung nehmen wir nun an, dass  $\omega$  folgende Form hat

$$\omega = f dx_1 \wedge \ldots \wedge \widehat{dx_j} \wedge \ldots \wedge dx_n$$

Es gilt nun

$$d\omega = \sum_{k} \frac{\partial f}{\partial x_{k}} dx_{k} \wedge dx_{1} \wedge \dots \wedge \widehat{dx_{j}} \wedge \dots \wedge dx_{n}$$
$$= (-1)^{j-1} \frac{\partial f}{\partial x_{j}} dx_{1} \wedge \dots \wedge dx_{n}$$

Wir nehmen nun ferner an, dass  $\omega$  kompakten Träger folgender Gestalt habe

$$\operatorname{supp}\omega \subset \{x \mid -a \le x_1 \le 0, |x_j| \le a \forall j = 2, \dots, n\}$$

Es gilt nun

$$\int_{M} d\omega = (-1)^{j-1} \int_{-a}^{+a} \dots \int_{-a}^{+a} \int_{-a}^{0} \frac{\partial f}{\partial x_{j}} dx_{1} \dots dx_{n}$$

Wir unterscheiden nun zwei Fälle. Beachte hierbei, dass f auf dem Rand von  $\mathrm{supp}\omega$  verschwindet.

Fall 1  $j \neq 1$ : In diesem Fall gilt

$$\int_{M} d\omega = (-1)^{j-1} \int_{-a}^{+a} \dots \int_{-a}^{+a} \int_{-a}^{0} f |_{x_{j}=-a}^{x_{j}=a} dx_{1} \dots \widehat{dx_{j}} \dots dx_{n} = 0$$

$$\operatorname{da} f|_{x_{i}=-a}^{x_{j}=a} = 0, \operatorname{da} f|_{x_{i}=a\neq 0} = 0.$$

Fall 2 j = 1: In diesem Fall gilt

$$\int_{M} d\omega = \int_{-a}^{+a} \dots \int_{-a}^{+a} f \Big|_{x_{1}=-a}^{x_{1}=0} dx_{2} \dots dx_{n} = \int_{-a}^{+a} \dots \int_{-a}^{+a} f(0, x_{2}, \dots, x_{n}) dx_{2} \dots dx_{n} = \int \iota^{*} \omega$$

$$da \ f(-a, x_{2}, \dots, x_{n}) = 0.$$

Es sei  $\omega$  nun beliebig. Sei  $\{g_j\}_j$  eine glatte Partition der Eins mit

$$\operatorname{supp} g_i \subset \{x \mid -a \le x_1 \le 0, |x_i| \le a \forall i = 2, \dots, n\}$$

Es gilt  $\omega = \sum_{j} g_{j}\omega$  und somit

$$\int_{M} d\omega = \int_{M} d(\sum_{j} g_{j}\omega) = \sum_{j} \int_{M} d(g_{j}\omega) = \sum_{j} \int_{\partial M} \iota^{*}(g_{j}\omega) = \int_{\partial M} \iota^{*}(\sum_{j} g_{j}\omega) = \int_{\partial M} \iota^{*}\omega$$

 $\neg$ 

## 5.10 Das Homotopieaxiom für de Rham-Kohomologie

#### 5.10.1 Definition

Ein Komplex bzw. Kokettenkomplex  $(C^*, d)$  ist eine Familie  $(C^p)_{p \in \mathbb{Z}}$  reeller Vektorräume mit einer Familie linearer Abbildungen

$$d: C^p \longrightarrow C^{p+1}$$

für die gilt

$$d \circ d = 0$$

#### 5.10.2 Definition

Sind  $(C^*, d_C)$  und  $(D^*, d_D)$  Komplexe, so ist ein **Homomorphismus** von Komplexen  $\varphi: C^* \to D^*$  eine Familie von linearen Abbildungen

$$\varphi^p:C^p\longrightarrow D^p$$

so, dass folgendes Diagramm kommutiert

$$C^{p} \xrightarrow{\varphi^{p}} D^{p}$$

$$\downarrow^{d_{C}} \qquad \downarrow^{d_{D}}$$

$$C^{p+1} \xrightarrow{\varphi^{p+1}} D^{p+1}$$

#### 5.10.3 Definition

Unter einer (Ketten)-Homotopie zwischen Morphismen  $\varphi, \psi : C^* \to D^*$  verstehen wir einen Kettenmorphismus  $K : C^* \to D^{*-1}$ , d. h.

$$K^p: C^p \longrightarrow D^{p-1}$$

sodass gilt

$$\mathrm{d}K - K\mathrm{d} = \varphi - \psi$$

Wir schreiben in diesem Fall

$$\varphi \simeq \psi$$

#### 5.10.4 Lemma

Gilt  $\varphi \simeq \psi$ , so folgt

$$H(\varphi) = H(\psi) : H^*(C^*) \longrightarrow H^*(D^*)$$

**Beweis** 

Sei 
$$[c] \in H^*(C^*)$$
, d. h.,  $dc = 0$ . Es gilt

$$H(\varphi)[c] - H(\psi)[c] = [\varphi(c)] - [\psi(c)] = [(\varphi - \psi)(c)] = [(dK - Kd)(c)] = [dKc] = 0$$

## 5.10.5 Bemerkung

Betrachte die Projektion

$$\pi: \mathbb{R}^n \times \mathbb{R}^1 \longrightarrow \mathbb{R}^n$$
$$(x,t) \longmapsto x$$

und den Schnitt

$$s: \mathbb{R}^n \longrightarrow \mathbb{R}^n \times \mathbb{R}^1$$
$$x \longmapsto (x,0)$$

Formen auf  $\mathbb{R}^n \times \mathbb{R}^1$  sind Linearkombinationen von Formen des Types

- (i)  $f(x,t)(\pi^*\eta)$
- (ii)  $(\pi^*\eta) \wedge f(x,t) dt$

wobei  $\eta \in \Omega^*(\mathbb{R}^n)$ .

## 5.10.6 Bemerkung

Wir definieren eine Homotopie  $K: \Omega^*(\mathbb{R}^n \times \mathbb{R}^1) \longrightarrow \Omega^{*-1}(\mathbb{R}^n \times \mathbb{R}^1)$  durch

$$K(f(x,t)(\pi^*\eta)) = 0$$

$$K((\pi^*\eta) \wedge f(x,t) dt) = (\pi^*\eta) \cdot \int_0^t f(x,t) dt$$

Durch die Rechnung im Beweis des Poincare-Lemmas wissen wir nun, dass gilt

$$dK - Kd = \pm (\mathrm{Id}_{\Omega^*(\mathbb{R}^n \times \mathbb{R}^1)} - \Omega(\pi) \circ \Omega(s))$$

Daraus folgt

$$H^*(\pi) \circ H^*(s) = \operatorname{Id}$$

Trivialerweise gilt

$$H^*(s) \circ H^*(\pi) = \operatorname{Id}$$

da  $\pi \circ s = \mathrm{Id}_{\mathbb{R}^n}$ . Daraus folgt, dass  $H^*(\pi) : H^*(\mathbb{R}^n) \to H^*(\mathbb{R}^n \times \mathbb{R}^1)$  ein Isomorphismus ist.

#### 5.10.7 Korollar

$$H^p(\mathbb{R}^n) \cong H^p(\mathbb{R}^{n-1}) \cong \ldots \cong H^p(\mathbb{R}^0) \cong \begin{cases} \mathbb{R} & p = 0 \\ 0 & p > 0 \end{cases}$$

## 5.10.8 Bemerkung

Sei nun M eine glatte Mannigfaltigkeit. Betrachte die Projektion

$$\pi: M \times \mathbb{R} \longrightarrow M$$

und den dazu gehörenden Schnitt  $s:M\to M\times\mathbb{R}$ . Es gilt dann bereits

$$H^*(s)H^*(\pi) = \operatorname{Id}$$

Seien Karten  $\{U_{\alpha}\}_{\alpha}$  auf M gegeben. Dann ist  $\{U_{\alpha} \times \mathbb{R}\}_{\alpha}$  ein korrespondierender Atlas für  $M \times \mathbb{R}$ . Mithilfe dieser Karten kann K wie zuvor definiert werden, d. h., wir erhalten

$$K: \Omega^*(M \times \mathbb{R}) \longrightarrow \Omega^{*-1}(M \times \mathbb{R})$$

 $_{
m mit}$ 

$$dK - Kd = \pm (Id_{\Omega^*(M \times \mathbb{R})} - \Omega(\pi)\Omega(s))$$

Dadurch folgt wieder

$$H^*(\pi)H^*(s) = \operatorname{Id}$$

Und  $H^*(\pi): H^*(M) \to H^*(M \times \mathbb{R})$  ist ein Isomorphismus.

## 5.10.9 Satz: Homotopieaxiom

Seien  $f,g:M\to N$  zue<br/>inander homotope glatte Abbildungen. Dann gilt

$$H^*(f)=H^*(g):H^*(N)\to H^*(M)$$

#### **Beweis**

Sei  $F: M \times \mathbb{R}^1 \to N$  eine glatte Homotopie, F(x,t) = f(x) für alle  $t \geq 1$  und F(x,t) = g(x) für alle  $t \leq 0$ .

Betrachte ferner  $s_0, s_1 : M \to M \times \mathbb{R}^1$  mit  $s_0(x) = (0, x)$  und  $s_1(x) = (1, x)$ . Da  $H(\pi)H(s_0) = \text{Id} = H(\pi)H(s_1)$  und  $H(\pi)$  isomorph ist, folgt

$$H(s_0) = H(s_1)$$

## 5.10. DAS HOMOTOPIEAXIOM FÜR DE RHAM-KOHOMOLOGIE

65

Da  $F\circ s_0=g$  und  $F\circ s_1=f,$  gilt nun

$$H(g) = H(s_0) \circ H(F) = H(s_1) \circ H(F) = H(f)$$

#### 5.10.10 Korollar

Vorlesung vom 15.1.18

Sind M, N Homotopie-äquivalente, glatte Mannigfaltigkeiten, so gilt

$$H^*(M) \cong H^*(N)$$

## 5.11 Exakte Sequenzen

#### 5.11.1 Definition

Im folgenden seien A, B und C reelle Vektorräume und  $f: A \to B, g: B \to C$  lineare Abbildungen.

Die Sequenz

$$A \xrightarrow{f} B \xrightarrow{g} C$$

heißt  $\mathbf{exakt}$  bei B, falls

$$\mathsf{Kern} g = \mathsf{Bild} f$$

Eine kurze exakte Sequenz ist eine Sequenz der Form

$$0 \longrightarrow A \longrightarrow B \longrightarrow C \longrightarrow 0$$

die exakt bei A, B und C ist.

## 5.11.2 Beispiel

Sind  $U \subset V$  Vektorräume, so ist folgende kurze exakte Sequenz gegeben

$$0 \longrightarrow U \longrightarrow V \longrightarrow V/U \longrightarrow 0$$

#### 5.11.3 Definition

Seien  $A^*, B^*$  und  $C^*$  Koketten-Komplexe reeller Vektorräume zusammen mit Morphismen  $i: A^* \to B^*$  und  $j: B^* \to C^*$ .

Die Sequenz

$$A^* \stackrel{i}{\longrightarrow} B^* \stackrel{j}{\longrightarrow} C^*$$

heißt **exakt** bei  $B^*$ , falls sie gradweise exakt ist, d. h.

$$A^p \longrightarrow B^p \longrightarrow C^p$$

ist exakt bei  $B^p$  für alle  $p \in \mathbb{Z}$ .

## 5.11.4 Lemma: Zick-Zack- bzw. Schlangenlemma

Eine kurze exakte Sequenz

$$0 \longrightarrow A^* \stackrel{i}{\longrightarrow} B^* \stackrel{j}{\longrightarrow} C^* \longrightarrow 0$$

von Koketten-Komplexen induziert eine lange exakte Sequenz der Kohomologiegruppen

$$\dots \xrightarrow{j^*} H^{p-1}(C^*) \xrightarrow{\delta} H^p(A) \xrightarrow{i^*} H^p(B) \xrightarrow{j^*} H^p(C) \xrightarrow{\delta} H^{p+1}(A) \xrightarrow{i^*} \dots$$

#### **Beweis**

Benutze Diagrammjagd.

## 5.12 Die Mayer-Vietoris-Sequenz

Sei M eine glatte Mannigfaltigkeit,  $U, V \subset M$  offen mit  $M = U \cup V$ . Es ergeben sich folgende kommutative Diagramm

$$U \cap V \stackrel{i_U}{\longleftarrow} U \qquad \Omega^*(U \cap V) \stackrel{i_U}{\longleftarrow} \Omega^*(U)$$

$$\downarrow^{i_V} \qquad \downarrow^{j_U} \qquad i_V^* \qquad j_U^* \uparrow$$

$$V \stackrel{j_V}{\longleftarrow} M \qquad \Omega^*(V) \stackrel{j_U}{\longleftarrow} \Omega^*(M)$$

## 5.12.1 Proposition

Definiert man im obigen Setting folgende Abbildungen

$$\Omega^*(M) \xrightarrow{(i_U^*, j_V^*)} \Omega^*(U) \oplus \Omega^*(V) \qquad \Omega^*(U) \oplus \Omega^*(V) \longrightarrow \Omega^*(U \cap V)$$

$$\omega \longmapsto (j_U^*\omega, j_V^*\omega) \qquad (\omega, \eta) \longmapsto i_V^*\eta - i_U^*\omega$$

So liegt folgende kurze exakte Sequenz vor

$$0 \longrightarrow \Omega^*(M) \longrightarrow \Omega^*(U) \oplus \Omega^*(V) \longrightarrow \Omega^*(U \cap V) \longrightarrow 0$$

#### **Beweis**

1)  $i_V^* - i_U^*$  ist surjektiv:

Sei  $\{f_U, f_V\}$  eine Partition der Eins auf M bzgl.  $\{U, V\}$ . Ist  $\omega$  in  $\Omega^*(U \cap V)$ , so ist  $f_U\omega$  in  $\Omega^*(V)$  und  $f_V\omega$  in  $\Omega^*(U)$ . Es gilt

$$(i_V^* - i_U^*)(-f_V\omega, f_U\omega) = f_U\omega_{|U\cap V} - (-f_V\omega)_{|U\cap V} = (f_U + f_V)(\omega) = \omega$$

- 2)  $(j_U^*, j_V^*)$  ist injektiv: Sei  $\omega \in \Omega^*(M)$  mit  $j_U^*(\omega) = 0$  und  $j_V^*(\omega) = 0$ . Dann verschwindet  $\omega$  auf U und V, also auch auf  $M = U \cup V$ . Ergo  $\omega = 0$ .
- 3) Exaktheit in der Mitte: Ist  $(\omega, \eta) \in \Omega^*(U) \oplus \Omega^*(V)$ , s. d.

$$\eta_{|U\cap V} - \omega_{|U\cap V} = 0$$

dann stimmen  $\omega$  und  $\eta$  auf  $U \cap V$  überein. Dann ist es möglich  $\omega$  durch  $\eta$  auf V fortzusetzen und dadurch eine glatte Form  $\tau \in \Omega^*(M)$  zu erhalten mit

$$\tau_{|U} = \omega \text{ und } \tau_{|V} = \eta$$

Ist umgekehrt ein  $\tau \in \Omega^*(M)$  gegeben, so gilt offensichtlich

$$(i_V^* - i_U^*) \circ (j_U^*, j_V^*)(\tau) = (i_V^* - i_U^*)(\omega_{|U}, \omega_{|V}) = \omega_{|U \cap V} - \omega_{|V \cap U} = 0$$

## 5.12.2 Bemerkung

Durch das Zick-Zack-Lemma erhalten wir folgende lange exakte Sequenz der Kohomologie-Gruppen

$$\ldots \to H^{p-1}(U\cap V) \to H^p(M) \to H^p(U) \oplus H^p(V) \to H^p(U\cap V) \to H^{p+1}(M) \to \ldots$$

## 5.12.3 Beispiel

Vorlesung

Wir wollen die Kohomologiegruppen von  $\mathbb{R}^2 - \{0\} \sim S^1$  berechnen. Dazu sollen U vom und V Umgebungen von zwei Hälften von  $S^1$  sein. Dann besteht  $U \cap V$  aus zwei 19.1.18 Wegzusammenhangkomponenten.

U,V sind homotop zu Punkten und  $U\cap V$  ist homotop zu zwei Punkten. Es ergibt sich folgende Mayer-Vietoris-Sequenz:

$$0 \longrightarrow H^0(S^1) \longrightarrow H^0(U) \oplus H^0(V) \longrightarrow H^0(U \cap V)$$
  
$$\longrightarrow H^1(S^1) \longrightarrow H^1(U) \oplus H^1(V) \longrightarrow H^1(U \cap V)$$
  
$$\longrightarrow H^2(S^1) \longrightarrow H^2(U) \oplus H^2(V) \longrightarrow H^2(U \cap V) \longrightarrow \dots$$

Wir kennen nun folgende Kohomologiegruppen

$$H^p(U) \cong H^p(V) \cong \begin{cases} \mathbb{R} & p = 0 \\ 0 & \text{sonst} \end{cases}$$

Da  $H^0(U \cap V)$  genau von den Wegzusammenhangkomponenten von  $U \cap V$  abhängt, folgt

$$H^0(U \cap V) = \mathbb{R} \oplus \mathbb{R}$$

Es ergibt sich nun folgende exakte Sequenz

$$0 \longrightarrow H^{0}(S^{1}) \longrightarrow \mathbb{R} \oplus \mathbb{R} \xrightarrow{f} \mathbb{R}^{2}$$
$$\longrightarrow H^{1}(S^{1}) \longrightarrow 0 \oplus 0 \longrightarrow H^{1}(U \cap V)$$
$$\longrightarrow H^{2}(S^{1}) \longrightarrow 0 \oplus 0 \longrightarrow H^{2}(U \cap V) \longrightarrow \dots$$

f ist dabei gegeben durch

$$f(u,v) = u - v$$

Ergo hat f einen eindimensionalen Kern und ein eindimensionales Bild. Es folgt aufgrund der Exaktheit

$$H^0(S^1) \cong \operatorname{Kern} f \cong \mathbb{R} \text{ und } H^1(S^1) \cong \mathbb{R}^2/\operatorname{Bild} f \cong \mathbb{R}$$

Für den Rest gilt nun

$$H^{p+1}(S^1) \cong H^p(U \cap V) = 0$$

da  $\Omega^{p+1}(S^1)=0$  für  $p\geq 1.$  Unterm Strich erhalten wir

$$H^p(\mathbb{R}^2 - 0) \cong H^p(S^1) \cong \begin{cases} \mathbb{R} & p = 0, 1 \\ 0 & \text{sont} \end{cases}$$

# Kapitel 6

# KOHOMOLOGIE MIT KOMPAKTEN TRÄGERN

## 6.0.1 Definition

Für  $U \subset \mathbb{R}^n$  offen definieren wir den Raum der **Differentialformen mit kompakten Träger** durch

$$\Omega_c^p(U) := \{ \omega \in \Omega^p(U) \mid \text{supp } \omega \text{ ist kompakt} \}$$

Ist supp  $\omega$  kompakt, so ist auch supp d $\omega$  kompakt. Dadurch können wir d<br/> wohldefiniert auf  $\Omega_c^*(U)$  einschränken. Dadurch erhalten wir folgenden Koketten-Komplex von reellen Vektorräumen

$$d|: \Omega_c^p(U) \longrightarrow \Omega_c^{p+1}(U)$$

Die Kohomologiegruppen dieses Komplexes definieren die **Kohomologiegruppen** mit kompakten **Trägern** 

$$H^p_c(U):=H^p(\Omega^*_c(U))$$

## 6.0.2 Beispiel

Wir wollen  $H^1_c(\mathbb{R}^1)$  bestimmen. Betrachte dazu die Abbildung

$$\int : \Omega_c^1(\mathbb{R}^1) \longrightarrow \mathbb{R}$$
$$\omega \longmapsto \int_{\mathbb{R}^1} \omega$$

 $\int$ ist offensichtlich linear und surjektiv. Wir wollen den Kern bestimmen. Zuerst zeigen wir

$$\mathsf{Bild}\ \mathrm{d}|\subset\ker\int$$

Sei dazu  $\omega=\mathrm{d}f,f\in\Omega^0_c(\mathbb{R}).$  Dann gilt

$$\int \omega = \int \mathrm{d}f = \int_{-\infty}^{\infty} \frac{\partial f}{\partial x} \mathrm{d}x$$

Der kompakte Träger von f sei enthalten in [a, b]. Dann haben wir

$$\int \omega = \int df = \int_a^b \frac{\partial f}{\partial x} dx = f(a) - f(b) = 0 - 0 = 0$$

Ferner behaupten wir

$$\ker \int \subset \mathsf{Bild}\ d|$$

Denn sei  $\omega=g(x)\mathrm{d}x\in\Omega^1_c(\mathbb{R}^1)$  mit  $\int_{-\infty}^\infty g(x)\mathrm{d}x=0$ . Ferner hat g kompakten Träger. Wir definieren dann die wohldefinierte Funktion

$$G(x) := \int_{-\infty}^{x} g(x) \mathrm{d}x$$

Es gilt dann

$$dG = G'dx = gdx = \omega$$

G hat tatsächlich einen kompakten Träger, denn g ist kompakt und  $\int_{-\infty}^{\infty} g(x) dx = 0$ . Insofern ist G nur auf einem kompakten Intervall ungleich Null. Es gilt nun

$$H_c^1(\mathbb{R}^1) = \ker \mathrm{d} |/\mathsf{Bildd}| = \Omega_c^1(\mathbb{R}^1) / \ker \int \cong \mathbb{R}^1$$

Dies unterscheidet sich von der gewöhnlichen De-Rham-Kohomologie, für die gilt

$$H^1(\mathbb{R}^1) = 0$$

Insbesondere ist  $H_c^*$  keine Homotopie<br/>invariante.

#### 6.0.3 Definition

Ist M eine beliebige, glatte Mannigfaltigkeit, dann definieren wir

$$\Omega^p_c(M) := \{\omega \in \Omega^p(M) \mid \mathrm{supp} \omega \text{ ist kompakt}\}$$

und

$$H^p_c(M):=H^p(\Omega^*_c(M))$$

## 6.0.4 Bemerkung

Sei  $\Phi: M \to N$  eine glatte Abbildung. Der Pullback unter  $\varphi$  induziert im Allgemeinem **keine** Abbildung auf  $H_c^*$ .

Z. Bsp. kann man

$$\varphi: \mathbb{R}^1 \longrightarrow *$$

betrachten. Der Pullback einer Differentialform auf dem einpunktigen Raum \* gibt eine konstante Abbildung auf  $\mathbb{R}^1$ , die im Allgemeinem keinen kompakten Träger hat.

## 6.0.5 Bemerkung

Wir klassifizieren zwei Abbildungen von glatten Mannigfaltigkeiten, die trotzdem Abbildungen auf den Kohomologiegruppen induzieren:

## 1) **6.0.6 Definition**

Eine stetige Abbildung  $f: X \to Y$  topologischer Raum heißt **eigentlich**<sup>1</sup>, falls das Urbild jeder kompakten Menge wieder kompakt ist, d. h.

$$A\subset Y$$
 kompakt  $\Longrightarrow f^{-1}(A)\subset X$  kompakt

## 6.0.7 Beispiel

Ist F ein kompakter Raum, so ist

$$\mathbb{R}^n \times F \longrightarrow \mathbb{R}^n$$

eigentlich.

Die Abbildung

$$\mathbb{R}^n \longrightarrow *$$

ist nicht eigentlich.

Eigentliche, glatte Abbildungen  $\varphi:M\to N$ von Mannigfaltigkeiten induzieren kontravariant Abbildungen

$$\varphi^*: H_c^*(N) \longrightarrow H_c^*(M)$$

$$[\omega] \longmapsto [\varphi^*\omega]$$

<sup>&</sup>lt;sup>1</sup>Im Englischen *proper*.

2) Sei  $\iota: U \hookrightarrow M$  die Inklusion einer offenen Teilmenge. Dann wird **kovariant** eine Abbildung

$$\iota_*: H_c^*(U) \longrightarrow H_c^*(M)$$

induziert, indem  $\omega \in \Omega_c^*(U)$  durch die Null auf M fortgesetzt wird.

# 6.1 Mayer-Vietoris für $H_c^*$

Sei M eine glatte Mannigfaltigkeit,  $U, V \subset M$  offen mit  $U \cup V = M$ . Wir erhalten folgende kommutative Diagramme

$$U \cap V \stackrel{i_U}{\longrightarrow} U \qquad \Omega_c^*(U \cap V) \xrightarrow{i_{U,*}} \Omega_c^*(U)$$

$$\downarrow_{i_V} \qquad \downarrow_{j_U} \rightsquigarrow \qquad \downarrow_{i_{V,*}} \qquad \downarrow_{j_{U,*}}$$

$$V \stackrel{j_V}{\longrightarrow} M \qquad \Omega_c^*(V) \xrightarrow{j_{V,*}} \Omega_c^*(M)$$

Dadurch erhalten wir die kurze exakte Sequenz

$$0 \longrightarrow \Omega_c^*(U \cap V) \longrightarrow \Omega_c^*(U) \oplus \Omega_c^*(V) \longrightarrow \Omega_c^*(M) \longrightarrow 0$$

und die folgende lange exakte Sequenz

$$\ldots \longrightarrow H^p_c(U \cap V) \longrightarrow H^p_c(U) \oplus H^p_c(V) \longrightarrow H^p(M)_c \longrightarrow H^{p+1}_c(U \cap V) \longrightarrow \ldots$$

Beachte, diese Sequenz ist analog zu der langen exakten Sequenz auf den normalen Kohomologiegruppen bis auf die Tatsache, dass M und  $U\cap V$  hier die Positionen getauscht haben.

# 6.2 Poincare-Lemma für $H_c^*$

Betrachte die Projektion

$$\pi: M \times \mathbb{R}^1 \longrightarrow M$$

Vorlesung vom 22.1.18

 $\pi$  ist nicht eigentlich. Trotzdem behaupten wir, dass  $\pi$  kovariant eine Abbildung

$$\pi_*: \Omega^p_c(M \times \mathbb{R}^1) \longrightarrow \Omega^{p-1}_c(M)$$

induziert. Diese Abbildung nennt man Integration entlang der Faser. Wir unterscheiden dazu zwei Typen von Elementen in  $\Omega_c^*(M \times \mathbb{R}^1)$ 

- (1)  $\pi^* \eta \cdot f(x,t)$  mit  $\eta \in \Omega^*(M)$  und f hat kompakten Träger
- (2)  $(\pi^* \eta) \wedge f(x, t) dt$  mit  $\eta \in \Omega^{*-1}(M)$

Wir definieren  $\pi_*$  durch

$$\pi_*(\pi^* \eta \cdot f(x,t)) = 0$$
  
$$\pi_*((\pi^* \eta) \wedge f(x,t) dt) = \eta \int_{-\infty}^{\infty} f(x,t) dt$$

Es bleibt nun nachzuprüfen

$$d\pi_* = \pi_* d$$

Dadurch erhalten wir eine wohldefinierte Abbildung

$$\pi_*: H_c^*(M \times \mathbb{R}^1) \longrightarrow H_c^{*-1}(M)$$

Wir behaupten, dass  $\pi_*$  ein Isomorphismus auf den Kohomologiegruppen ist, und wollen eine Umkehrabbildung konstruieren.

Sei hierzu e(t) eine glatte Funktion auf  $\mathbb{R}$  mit  $\int_{-\infty}^{\infty} e(t) dt = 1$  und supp  $e(t) \subset \mathbb{R}$  kompakt. Definiere

$$e := e(t) dt \in \Omega^1_c(\mathbb{R}^1)$$

und

$$e_*: \Omega_c^{*-1}(M) \longrightarrow \Omega_c^*(M \times \mathbb{R})$$
  
 $\eta \longmapsto (\pi^* \eta) \wedge e(t) dt$ 

Auch in diesem Fall rechnet man nach

$$d \circ e_* = e_* \circ d$$

Dadurch ergibt sich eine wohldefinierte Abbildung

$$e_*: H_c^{*-1}(M) \longrightarrow H_c^*(M \times \mathbb{R}^1)$$

Es bleibt nun zu zeigen, dass  $e_*$  und  $\pi_*$  auf Ebene der Kohomologiegruppen tatsächlich invers zueinander sind.

Wir erhalten hierdurch folgende Isomorphie

$$H_c^k(M \times \mathbb{R}^1) \stackrel{\pi_*}{\cong} H_c^{k-1}(M)$$

## 6.2.1 Lemma: Poincare für $H_c^*$

$$H_c^n(\mathbb{R}^n) = H_c^0(\mathbb{R}^0) = \mathbb{R}$$

#### 6.2.2 Satz

Sei M eine glatte, zusammenhängende, orientierbare Mannigfaltigkeit der Dimension n ohne Rand. Dann gilt

$$H_c^n(M) \cong \mathbb{R}$$

#### **Beweis**

Schritt 1  $\dim_{\mathbb{R}} H_c^n(M) \ge 1$ :

Sei dazu  $U\subset M$  eine Karte  $U\cong \mathbb{R}^n.$   $\omega\in\Omega^n_c(U)$  sei eine n-Form mit

$$\int_{U} \omega \neq 0$$

Der Satz von Stokes impliziert nun, dass  $\omega$ ist nicht exakt, d. h.,  $\omega\notin\mathsf{Bild}$ d. Damit folgt aber auch

$$0 \neq [\omega] \in H_c^n(M)$$

Schritt 2  $\dim_{\mathbb{R}} H_c^n(M) \leq 1$ :

Sei  $\omega' \in \Omega^n_c(M)$ . Wir müssen zeigen, dass es ein  $c \in \mathbb{R}$  und ein  $\eta \in \Omega^{n-1}_c(M)$  gibt, sodass

$$\omega' = c\omega + \mathrm{d}\eta$$

Dazu nehmen wir uns Karten  $U_1, \ldots, U_k \subset M$  mit  $U_i \cong \mathbb{R}^n$  und

supp 
$$\omega' \subset U_1 \cup \ldots \cup U_k$$

Sei ferner  $f_1, \ldots, f_k$  eine glatte Partition der Eins mit supp $f_i \subset U_i$  kompakt. Dann gilt

$$\omega' = \sum_{i} f_{i} \omega'$$

Angenommen, es gäbe  $c_i \in \mathbb{R}$  und  $\eta \in \Omega_c^{n-1}(U_i)$  mit

$$f_i\omega' = c_i\omega + \mathrm{d}\eta_i$$

für alle i. Dann ergäbe sich

$$\omega' = (\sum_{i} c_i)\omega + d(\sum_{i} \eta_i)$$

Insofern genügt es also, die Existenz von  $c_i$  und  $\eta_i$  nachzuweisen. D. h., wir können ohne Einschränkung annehmen, dass  $\omega'$  kompakten Träger in einer Karte  $V \subset M$ ,  $V \cong \mathbb{R}^n$ , hat.

Beachte, dass

$$\operatorname{supp}\,\omega\subset U\text{ und supp }\omega'\subset V$$

Da M zusammenhängend ist, finden wir offene Karten  $U_1, \ldots, U_r \subset M$  mit

$$U_i \cong \mathbb{R} \qquad U_1 = U$$

$$U_i \cap U_{i+1} \neq \emptyset \qquad U_r = V$$

Sei  $\omega_1\in\Omega^n_c(U_1)$  mit  $\emptyset\neq \text{supp }\omega_1\subset U_1\cap U_2$ . Dies führen wir für  $i=2,\ldots,r-1$  fort und erhalten

$$0 \neq \omega_i \in \Omega_c^n(U_i \cap U_{i+1})$$

Mit dem Poincare Lemma folgt nun

$$H_c^n(U_i) \cong \mathbb{R}$$

Deswegen existieren  $c_1 \in \mathbb{R}$  und  $\eta_1 \in \Omega_c^{n-1}(U_1)$  mit

$$\omega_1 = c_1 \omega + \mathrm{d}\eta_1$$

Und analog folgt die Existenz von  $c_2, \ldots, c_{r-1} \in \mathbb{R}$  und  $\eta_2, \ldots, \eta_r$  mit

$$\omega_i = c_i \omega_{i-1} + \mathrm{d}\eta_i$$

Zusammenfügen ergibt

$$\omega' = c_1 \cdots c_{r-1}\omega + d(\eta_{r-1} + c_{r-1}\eta_{r-2} + \dots + c_1 \cdots c_{r-2}\eta_1)$$

## 6.2.3 Bemerkung

Ist M nicht orientierbar, so gilt

$$H_c^n(M) = 0$$

Der Beweis hierfür wird ähnlich geführt wie oben.

# 6.3 Zurück zum Abbildungsgrad

### 6.3.1 Definition

Sei  $\varphi:M\to N$  eine glatte Abbildung glatter, orientierter, zusammenhängender, geschlossener Mannigfaltigkeiten der Dimension n.

Sei  $\omega_0 \in \Omega^n_c(N)$  eine Form mit

$$\int_{M} \omega_0 \neq 0$$

Dann ist  $\varphi^*\omega$  eine *n*-Form auf M. Definiere

$$d(\varphi) := \frac{\int_M \varphi^* \omega_0}{\int_N \omega_0}$$

 $d(\varphi)$  ist unabhängig von der Wahl von  $\omega_0$ , denn ist  $\omega \in \Omega_c^n(N)$  eine weitere *n*-Form, so gilt

$$\omega = c\omega_0 + \mathrm{d}\eta$$

und es gilt

$$\frac{\int_{M} \varphi^* \omega}{\int_{N} \omega} = \frac{\int_{M} c \varphi^* \omega_0 + \varphi^* d\eta}{\int_{N} c \omega_0 + d\eta} = \frac{\int_{M} \varphi^* \omega_0}{\int_{N} \omega_0} = d(\varphi)$$

da  $\int_N d\eta = 0$ , da N keinen Rand hat.

## 6.3.2 Bemerkung

 $d(\varphi)$  ist auch dann wohldefiniert, wenn M,N nicht kompakt sind, aber  $\varphi$  eigentlich ist.

#### 6.3.3 Satz

In obiger Situation gilt

$$d(\varphi) = \deg(\varphi)$$

Insbesondere ist  $d(\varphi)$  immer eine ganze Zahl.

#### Beweis

Sei  $p \in N$  ein regulärer Wert von  $\varphi$  und  $\varphi^{-1}(p) = \{q_1, \dots, q_k\} \subset M$ . Wir haben Isomorphismen

$$\varphi_{*,q_i}: T_{q_i}M \xrightarrow{\cong} T_pN$$

Nach dem Satz über umkehrbare Funktionen ist  $\varphi$  lokal in der Nähe der  $q_i$  ein Diffeomorphismus. Ergo existiert eine Karte  $\mathbb{R}^n \cong V \subset N$  um p und weitere Karten  $\mathbb{R}^n \cong U_i \subset M$  um  $q_i$ , sodass

$$\varphi_{|U_i}:U_i\longrightarrow V$$

ein Diffeomorphismus ist für alle i.

Sei  $\omega_0 \in \Omega_c^n(V)$  mit

$$\int_{N} \omega_0 \neq 0$$

Dann ist der Träger supp  $\varphi^*\omega_0$  in  $U_0\cup\ldots\cup U_k$  enthalten. Wir erhalten k Kopien von  $\omega_0$ 

$$\varphi_{|U_i}^*\omega_0\in\Omega_c^n(U_i)$$

Es folgt

$$\int_{M} \varphi^* \omega_0 = \sum_{i=1}^{k} \int_{U_i} \varphi_{|U_i}^* \omega_0$$

und es gilt

$$\int_{U_i} \varphi_{|U_i}^* \omega_0 = \varepsilon_i \int_V \omega_0$$

wobei

$$\varepsilon_i = \begin{cases} +1 & \varphi_{*,q_i} \text{ ist orientierungserhaltend} \\ -1 & \varphi_{*,q_i} \text{ ist orientierungsumkehrend} \end{cases}$$

Dadurch folgt

$$d(\varphi) = \frac{\int_{M} \varphi^* \omega_0}{\int_{N} \omega_0} = \frac{\sum_{i=1}^{k} \varepsilon_i \int_{N} \omega_0}{\int_{N} \omega_0} = \sum_{i=1}^{k} \varepsilon_i = \deg(\varphi)$$

# 6.4 Endlich-Dimensionalität der Kohomologie

Vorlesung vom 26.1.18

Sei M eine glatte Mannigfaltigkeit der Dimension n.

### 6.4.1 Definition

Eine offene Überdeckung  $\{U_{\alpha}\}_{\alpha}$  von M heißt  $\mathbf{gut}$ , wenn alle nichtleeren endlichen Schnitte  $U_{\alpha_1} \cap U_{\alpha_2} \cap \ldots \cap U_{\alpha_k}$  diffeomorph zu  $\mathbb{R}^n$  sind.

#### 6.4.2 Lemma

M besitzt eine gute Überdeckung. Diese kann endlich gewählt werden, wenn M kompakt ist.

#### Beweisskizze

Wähle eine Riemannsche Metrik auf M. Man kann zeigen, dass jeder Punkt von M eine geodätisch konvexe Umgebung besitzt. Der Durchschnitt geodätischer konvexer Mengen ist wieder geodätisch konvex, sofern die beiden Mengen klein genug sind. Außerdem sind geodätische konvexe Mengen diffeomorph zu  $\mathbb{R}^n$ .

Insofern genügt es eine Überdeckung von M durch geodätisch konvexe Mengen zu wählen, die klein genug sind.

#### 6.4.3 Satz

Hat M eine gute endliche Überdeckung, so gilt für alle p

$$\dim_{\mathbb{R}} H^p(M) < \infty$$

#### **Beweis**

Schritt 1: Seien  $U, V \subset M$  offen mit

$$\dim H^{p}(U) < \infty$$
$$\dim H^{p}(V) < \infty$$
$$\dim H^{p}(U \cap V) < \infty$$

für alle p. Betrachte folgende exakte Sequenz

$$H^p(U\cap V) \xrightarrow{\delta^*} H^p(U\cup V) \xrightarrow{\iota^*} H^p(U) \oplus H^p(V) \longrightarrow H^p(U\cap V)$$

Es gilt dann

$$H^p(U \cup V) \cong \mathsf{Bild}\iota^* \oplus \mathsf{Bild}\delta^*$$

Da  $H^p(U \cap V)$ ,  $H^p(U)$  und  $H^p(V)$  endliche Dimension haben, haben dies auch die Bilder von  $\iota^*$  und  $\delta^*$ . Ergo auch  $H^p(U \cup V)$ .

- Schritt 2: Wir führen eine vollständige Induktion nach der Kardinalität  $\kappa$  einer endlichen guten Überdeckung:
  - $\kappa = 1$ : Dann ist  $M \cong \mathbb{R}^n$ . Damit folgt auch

$$H^p(M) \cong H^p(\mathbb{R}^n)$$

 $H^p(\mathbb{R}^n)$  ist nach dem Poincare-Lemma endlich dimensional.

•  $\kappa - 1 \to \kappa$ : Sei  $U_1, \dots, U_{\kappa}$  eine gute Überdeckung von M. Setze

$$U := U_1 \cup \ldots \cup U_{\kappa-1}$$

und

$$V := U_{\kappa} \cong \mathbb{R}^n$$

Durch die Induktionsannahme folgt

$$\dim H^p(U) < \infty$$
 und  $\dim H^p(V) < \infty$ 

für alle p. Betrachte

$$U \cap V = (U_1 \cap U_{\kappa}) \cup \ldots \cup (U_{\kappa} \cap U_{\kappa})$$

 $U \cap V$  besitzt die gute Überdeckung

$$U_1 \cap U_{\kappa}, \ldots, U_{\kappa-1} \cap U_{\kappa}$$

der Kardinalität  $\kappa-1$ . Mit der Induktionsannahme gilt also

$$\dim H^p(U \cap V) < \infty$$

für alle p. Mit Schritt 1 folgt nun

$$\dim H^p(M) = \dim H^p(U \cup V) < \infty$$

für alle p.

Wir wollen Folgendes zeigen: Ist M orientiert und hat keinen Rand, so gilt

$$\dim H^p(M) = \dim H_c^{n-p}(M)$$

Dies nennt man Poincare-Dualität.

Wir wollen eine Beschreibung des Verbindungshomomorphismus

$$\delta^*: H^p(U \cap V) \longrightarrow H^{p+1}(U \cup V)$$

in der Mayer-Vietoris-Sequenz erarbeiten. Sie ergibt sich durch eine Diagrammjagd aus folgendem Diagramm

$$0 \longrightarrow \Omega^{p}(U \cup V) \longrightarrow \Omega^{p}(U) \oplus \Omega^{p}(V) \longrightarrow \Omega^{p}(U \cap V) \longrightarrow 0$$

$$\downarrow^{d} \qquad \qquad \downarrow^{d} \oplus d \qquad \qquad \downarrow^{d}$$

$$0 \longrightarrow \Omega^{p+1}(U \cup V) \longrightarrow \Omega^{p+1}(U) \oplus \Omega^{p+1}(V) \longrightarrow \Omega^{p+1}(U \cap V) \longrightarrow 0$$

Es gilt somit für  $\omega \in \Omega^p(U \cap V)$ 

$$\delta^*[\omega]_{|U} = -[\mathrm{d}(f_V \cdot \omega)]$$
$$\delta^*[\omega]_{|V} = [\mathrm{d}(f_U \cdot \omega)]$$

wobei

$$\omega = (f_U \omega)_{|V} + (f_V \omega)_{|U}$$

Wir können  $\delta^*: H^{n-p-1}_c(U\cup V)\to H^{n-p}_c(U\cap V)$  beschreiben, indem wir für ein  $[\omega]\in H^{n-p-1}_c(U\cup V)$  eine Fortsetzung durch Null von  $\delta^*[\omega]$  auf U und V erhalten durch jeweils

$$-[\mathrm{d}(f_V\omega)]$$
 und  $[\mathrm{d}(f_U\omega)]$ 

#### 6.4.4 Lemma: Fünfer-Lemma

$$\begin{array}{cccc}
A & \longrightarrow & B & \longrightarrow & C & \longrightarrow & D & \longrightarrow & E \\
\downarrow^{\alpha} & & \downarrow^{\beta} & & \downarrow^{\gamma} & & \downarrow^{\delta} & & \downarrow^{\varepsilon} \\
A' & \longrightarrow & B' & \longrightarrow & C' & \longrightarrow & D' & \longrightarrow & E'
\end{array}$$

Kommutiert obiges Diagramm und sind  $\alpha, \beta, \delta$  und  $\varepsilon$  Isomorphismen, so ist auch  $\gamma$  isomorph.

#### **Beweis**

Diagrammjagd.

## 6.4.5 Bemerkung

Sei  $\langle\cdot\mid\cdot\rangle:V\times W\to\mathbb{R}$ eine Bilinearform, V,Wseien endlich-dimensionale Vektorräume.

Man erinnere sich daran, dass

$$V^* = \operatorname{Hom}_{\mathbb{R}}\left(V, \mathbb{R}\right)$$

gilt.  $\langle \cdot | \cdot \rangle$  induziert lineare Abbildungen

$$V \longrightarrow W^*$$
$$v \longmapsto \langle v \mid \cdot \rangle$$

und

$$W \longrightarrow V^*$$
$$w \longmapsto \langle \cdot \mid w \rangle$$

Man erinnere sich daran, dass  $\langle \cdot | \cdot \rangle$  nicht-ausgeartet heißt, wenn für alle  $0 \neq v \in V$  und  $0 \neq w \in W$  Vektoren  $v' \in V, w' \in W$  existieren mit

$$\langle v \mid w' \rangle \neq 0 \text{ und } \langle v' \mid w \rangle \neq 0$$

#### 6.4.6 Lemma

 $\langle\cdot\mid\cdot\rangle$ ist genau dann nicht-ausgeartet, wenn die beiden obigen induzierten Abbildungen Isomorphismen sind.

#### 6.4.7 Definition

Sei M eine orientierte, glatte Mannigfaltigkeit ohne Rand der Dimension n. Wir definieren eine Paarung durch

$$\langle \cdot \mid \cdot \rangle : H^p(M) \times H^{n-p}_c(M) \longrightarrow \mathbb{R}$$

$$([\omega], [\eta]) \longmapsto \int_M \omega \wedge \eta$$

 $\omega \wedge \eta$  ist in  $\Omega_c^n(M)$ , da  $\eta$  kompakten Träger hat. Insofern ist obiges Integral wohldefiniert.

Die Paarung ist unabhängig von der Wahl der Repräsentanten  $\omega, \eta$ . Dies folgt aus der Produktregel und dem Satz von Stokes, da M keinen Rand hat.

#### 6.4.8 Satz: Poincare-Dualität

Sei M eine orientierte glatte Mannigfaltigkeit ohne Rand der Dimension n, die eine endliche gute Überdeckung besitzt. Dann ist

$$\langle \cdot | \cdot \rangle : H^p(M) \times H^{n-p}_c(M) \longrightarrow \mathbb{R}$$

nicht-ausgeartet für alle p.

#### **Beweis**

Seien  $U, V \subset M$  offen. Die Poincare-Dualität gelte für U, V und  $U \cap V$ .

Indem wir den kontravarianten, exakten Funktor \_\* auf die untere Zeile anwenden, erhalten wir

$$H^{p-1}(U) \oplus H^{p-1}(V) \longrightarrow H^{p-1}(U \cap V) \stackrel{\delta^*}{\longrightarrow} H^p(U \cup V) \stackrel{\iota^*}{\longrightarrow} H^p(U) \oplus H^p(V) \longrightarrow H^p(U \cap V)$$
 
$$\downarrow \cong \qquad \qquad \downarrow \cong \qquad \qquad \downarrow f \qquad \qquad \downarrow \cong \qquad \qquad \downarrow \cong \qquad \qquad \downarrow \cong \qquad \downarrow \cong \qquad \downarrow \cong \qquad \downarrow H^{n-p+1}(U)^* \oplus H^{n-p+1}(V)^* \longrightarrow H^{n-p+1}(U \cap V)^* \stackrel{\delta^*}{\longrightarrow} H^{n-p}(U \cup V)^* \stackrel{\iota^*}{\longrightarrow} H^{n-p}(U)^* \oplus H^p(V)^* \longrightarrow H^{n-p}(U \cap V)^*$$

Mit dem Fünferlemma würde nun folgen, dass f ein Isomorphismus ist, unter der Voraussetzung, dass obiges Diagramm kommutiert.

Für die Kommutativität ist zu zeigen

$$\langle \delta^* \omega, \eta \rangle = \langle \omega, \delta^* \eta \rangle$$

Tatsächlich gilt

$$\langle \delta^* \omega, \eta \rangle = \int_{U \cup V} \delta^* \omega \wedge \eta = \int d(f_U \omega) \wedge \eta = \int df_U \wedge \omega \wedge \eta$$

und

$$\langle \omega, \delta^* \eta \rangle = \int \omega \wedge \delta_* \eta = \int \omega \wedge d(f_U \eta) = \int \omega \wedge df_U \wedge \omega = (-1)^p \int df_U \wedge \omega \wedge \eta$$

Somit kommutiert obiges Diagramm bis auf Vorzeichen. Ergo ist

$$f: H^p(U \cup V) \to H^{n-p}_c(U \cup V)^*$$

ein Isomorphismus.

Um den Beweis abzuschließen, führen wir wieder Induktion nach der Kardinalität einer endlichen guten Überdeckung von M.

Der Induktionsanfang ist hierbei gegeben durch die Poincare-Lemmata.  $\Box$ 

## 6.4.9 Korollar

Insbesondere folgt aus obigem Satz

$$H^p(M) \cong H_c^{n-p}(M)^*$$

für alle p.

# 6.5 Der Kohomologiering von $\mathbb{C}P^n$

Vorlesung vom 29.1.18

## 6.5.1 Definition

Wir definieren den komplexen projektiven Raum durch

$$\mathbb{C}P^n := (\mathbb{C}^{n+1} - \{0\}) / \sim$$

wobei

$$(x_1,\ldots,x_{n+1})\sim(\lambda x_1,\ldots,\lambda x_{n+1})$$

für alle  $(x_1, \ldots, x_{n+1}) \in \mathbb{C}^{n+1} - \{0\}$  und  $\lambda \in \mathbb{C} - \{0\}$ .

Die Punkte von  $\mathbb{C}P^n$  lassen sich durch homogene Koordinaten beschreiben:

$$(x_1:x_2:\ldots:x_{n+1}):=[(x_1,\ldots,x_{n+1})]_{\sim}$$

## 6.5.2 Beispiel

Betrachte  $\mathbb{C}P^1$  in  $\mathbb{C}P^2$  gegeben durch

$$\mathbb{C}P^1 = \{(0: x_1: x_2)\} \subset \mathbb{C}P^2$$

Es gilt nun

$$\mathbb{C}P^2 - \mathbb{C}P^1 = \{(1: x_1: x_2) \mid x_1, x_2 \in \mathbb{C}\} \cong \mathbb{C}^2$$

Dies zeigt, dass  $\mathbb{C}P^2$  eine glatte reelle Mannigfaltigkeit der Dimension 4 ist. Allgemeiner gilt

$$\dim_{\mathbb{R}} \mathbb{C}P^n = 2n$$

Im Detail haben wir für  $\mathbb{C}P^2$ folgende Karten

$$\{(1:u:v) \mid u,v \in \mathbb{C}\} \longrightarrow \mathbb{C}^2$$

$$(1:u:v) \longmapsto (u,v)$$

$$\{(u:1:v) \mid u,v \in \mathbb{C}\} \longrightarrow \mathbb{C}^2$$

$$(u:1:v) \longmapsto (u,v)$$

$$\{(u:v:1) \mid u,v \in \mathbb{C}\} \longrightarrow \mathbb{C}^2$$

$$(u:v:1) \longmapsto (u,v)$$

#### 6.5.3 Definition

Wir führen **Polarkoordinaten** auf  $\mathbb{C}^2 = \mathbb{C}P^2 - \mathbb{C}P^1$  ein

$$u = re^{2\pi i\theta}$$
$$v = se^{2\pi i\varphi}$$

für  $(u, v) \in \mathbb{C}^2$  und  $r, s \geq 0, \theta, \varphi \in [0, 1)$ . Wir deklarieren folgende 1-Formen auf  $\mathbb{C}P^2 - \mathbb{C}P^1$ 

$$\eta(u,v) = \frac{r^2 d\theta + s^2 d\varphi}{1 + r^2 + s^2}$$

Allerdings ist r im Allgemeinem nicht glatt in Abhängigkeit von u, aber  $r^2 = x^2 + y^2 = u \cdot \overline{u}$  ist glatt für x = Re(u), y = Im(u).

 $\theta$  ist nicht einmal stetig. Aber  $2\pi r^2 d\theta$  ist glatt, denn

$$2\pi r^2 d\theta = 2\pi (x^2 + y^2) d(\frac{1}{2\pi} \operatorname{atan}(\frac{y}{x}))$$

$$= (x^2 + y^2) (\frac{\partial}{\partial x} \operatorname{atan}(\frac{y}{x}) dx + \frac{\partial}{\partial y} \operatorname{atan}(\frac{y}{x}) dy)$$

$$= (x^2 + y^2) \frac{1}{1 + (\frac{y}{x})^2} (-\frac{y}{x^2} dx + \frac{1}{x} dy)$$

$$= (x^2 + y^2) \frac{x^2}{x^2 + y^2} (-y \frac{dx}{x^2} + x \frac{dy}{x^2})$$

$$= x dy - y dx$$

D. h.,  $\eta \in \Omega^1(\mathbb{C}P^2 - \mathbb{C}P^1)$ . Setze

$$\omega:=\mathrm{d}\eta\in\Omega^2(\mathbb{C}P^2-\mathbb{C}P^1)$$

 $\omega$  ist dann geschlossen auf  $\mathbb{C}P^2 - \mathbb{C}P^1$ . Ferner lässt sich  $\omega$  glatt auf  $\mathbb{C}P^2$  fortsetzen. Betrachte die Karte  $(u_1:1:v_1)\mapsto (u_1,v_1)$ :

$$(u_1:1:v_1) = (r_1e^{2\pi i\theta_1}:1:s_1e^{2\pi i\varphi_1})$$

Ist zum Beispiel  $u_1 \neq 0$ , so gilt

$$(u_1:1:v_1) = (1:\frac{1}{r_1e^{2\pi i\theta_1}}:\frac{s_1e^{2\pi i\varphi_1}}{r_1e^{2\pi i\theta_1}})$$
$$= (1:\frac{1}{r_1}e^{-2\pi i\theta_1}:\frac{s_1}{r_1}e^{2\pi i(\varphi_1-\theta_1)})$$

Dies lässt sich in obige Formel einsetzen. Da  $\mathbb{C}P^2 - \mathbb{C}P^1$  dicht in  $\mathbb{C}P^2$  liegt und  $\omega$  stetig ist, ist die Fortsetzung auf  $\mathbb{C}P^2$  eindeutig. Aus dem selben Grund gilt

$$d\omega = 0$$

auf ganz  $\mathbb{C}P^2$ . Wir erhalten so  $\omega \in \mathsf{Kern} \ d \subset \Omega^2(\mathbb{C}P^2)$ . Ergo ist  $\omega$  geschlossen auf ganz  $\mathbb{C}P^2$ .  $\eta$  lässt sich nicht glatt auf  $\mathbb{C}P^2$  fortsetzen, insofern ist  $\omega$  nicht exakt auf ganz  $\mathbb{C}P^2$ .

Es gilt nun

$$\omega \wedge \omega = \frac{8rs}{(1+r^2+s^2)^3} dr d\theta ds d\varphi \in \Omega^4(\mathbb{C}P^2)$$

und

$$\int_{\mathbb{C}P^2} \omega \wedge \omega = 8 \int_0^\infty \int_0^1 \int_0^\infty \int_0^1 \frac{8rs}{(1+r^2+s^2)^3} dr d\theta ds d\varphi \in \Omega^4(\mathbb{C}P^2)$$
$$= \int_0^\infty \int_0^\infty \frac{rs}{(1+r^2+s^2)^3} dr ds = 1$$

Daraus folgt  $\omega^2$  ist nicht exakt auf  $\mathbb{C}P^2$ . Es gilt somit

$$0 \neq [\omega] \in H^2(\mathbb{C}P^2)$$
$$0 \neq [\omega]^2 \in H^4(\mathbb{C}P^2)$$

Wir wissen, dass  $\mathbb{C}P^2$ geschlossen und orientiert ist. Mit der Poincare-Dualität folgt nun

$$\dim H^4(\mathbb{C}P^2) = \dim H^0(\mathbb{C}P^2) = 1$$

da  $\mathbb{C}P^2$  zusammenhängend ist. Insofern wird  $H^4(\mathbb{C}P^2)$  von  $[\omega^2]$  als reeller Vektorraum erzeugt.

Ferne folgt aus obigem

$$\dim H^2(\mathbb{C}P^2) \ge 1$$

Um dim  $H^2(\mathbb{C}P^2)$  genau zu bestimmen, brauchen wir nun relative Kohomologie.

## 6.5.4 Definition: Relative Kohomologie

Sei  $\iota:N\hookrightarrow M$ eine geschlossene glatte eingebettete Untermannigfaltigkeit. Setze

$$\Omega^k(M,N) := \left\{ \omega \in \Omega^k(M) \mid \iota^*(\omega) = 0 \right\} = \operatorname{Kern}(\iota^* : \Omega^k(M) \to \Omega^k(N))$$

Ist  $\omega \in \Omega^k(M, N)$ , so gilt

$$\iota^*(\mathrm{d}\omega) = \mathrm{d}(\iota^*\omega) = 0$$

d. h., d steigt wohldefiniert auf  $\Omega^*(M, N)$  ab. Dadurch erhalten wir den **relativen** de Rham-Komplex  $(\Omega^*(M, N), d)$ .

Wir definieren die k-te **relative Kohomologiegruppe** durch

$$H^k(M,N) := H^k(\Omega^*(M,N), d)$$

Wir erhalten insbesondere folgende kurze exakte Sequenz

$$0 \longrightarrow \Omega^*(M,N) \longrightarrow \Omega^*(M) \xrightarrow{\iota^*} \Omega^*(N) \longrightarrow 0$$

Die Surjektivität von  $\iota^*$  gilt, denn:

Lokal ist  $\iota$  gegeben durch

$$\iota: \mathbb{R}^n \hookrightarrow \mathbb{R}^m = \mathbb{R}^n \times \mathbb{R}^{m-n}$$

mit einer Projektion

$$\pi: \mathbb{R}^n \times \mathbb{R}^{m-n} \longrightarrow \mathbb{R}^n$$

Daraus folgt

$$\pi \circ \iota = \mathrm{Id}$$

und damit

$$\iota^* \circ \pi^* = \mathrm{Id}$$

Daraus folgt die Surjektivität von  $\iota^*$ .

Global folgt die Surjektivität durch eine Zerlegung der Eins.

Wir erhalten dadurch folgende lange exakte Sequenz

$$\ldots \xrightarrow{\delta^*} H^k(M,N) \longrightarrow H^k(M) \xrightarrow{\iota^*} H^k(N) \xrightarrow{\delta^*} H^{k+1}(M,N) \longrightarrow \ldots$$

# 6.5.5 Proposition: Alternative Beschreibung der Relativen Kohomologie

Durch Fortsetzung durch Null erhält man eine Abbildung

$$\Omega_c^*(M-N) \longrightarrow \Omega^*(M,N)$$

Diese vertauscht mit d. Sind M, N kompakt, so erhalten wir einen Isomorphismus

$$H_c^*(M-N) \xrightarrow{\cong} H^*(M,N)$$

## 6.5.6 Bemerkung: Zurück zu $\mathbb{C}P^2$

Betrachte  $N = \mathbb{C}P^1 \stackrel{\iota}{\hookrightarrow} \mathbb{C}P^2 = M$ . Es liegt folgende exakte Sequenz vor

$$H^2(\mathbb{C}P^2, \mathbb{C}P^1) \longrightarrow H^2(\mathbb{C}P^2) \longrightarrow H^2(\mathbb{C}P^1) \longrightarrow H^3(\mathbb{C}P^2, \mathbb{C}P^1)$$

Ferner gilt<sup>2</sup>

$$H^3(\mathbb{C}P^2,\mathbb{C}P^1) \cong H^3_c(\mathbb{C}P^2 - \mathbb{C}P^1) \cong H^3_c(\mathbb{R}^4) = 0$$

und

$$H^{2}(\mathbb{C}P^{2},\mathbb{C}P^{1}) = H_{c}^{2}(\mathbb{R}^{4}) = 0$$

Daraus folgt

$$H^2(\mathbb{C}P^1) \cong H^2(\mathbb{C}P^2)$$

Es gilt nun

$$H^2(\mathbb{C}P^2) \cong H^0(\mathbb{C}P^1)^* \cong \mathbb{R}$$

Daraus folgt

$$H^2(\mathbb{C}P^2) \cong \mathbb{R} \langle \omega \rangle$$

Betrachte ferner

$$H^1(\mathbb{C}P^2, \mathbb{C}P^1) \longrightarrow H^1(\mathbb{C}P^2) \stackrel{\iota^*}{\longrightarrow} H^1(\mathbb{C}P^1)$$

Es gilt nun

$$H^1(\mathbb{C}P^2, \mathbb{C}P^1) \cong H^1_c(\mathbb{R}^4) = 0$$

und

$$H^1(\mathbb{C}P^1) \cong H^1(S^2) = 0$$

Daraus folgt

$$H^1(\mathbb{C}P^2)=0$$

Mit der Poincare-Dualität folgt nun, da  $\mathbb{C}P^2$  orientierbar ist.

$$H^3(\mathbb{C}P^2) = 0$$

Unterm Strich erhalten wir folgende Isomorphie von graduierten  $\mathbb{R}$ -Algebren

$$H^*(\mathbb{C}P^2) \cong \mathbb{R}[\ [\omega]\ ]/([\omega]^3 = 0)$$

wobei  $[\omega]$  Grad 2 hat.

Allgemeiner gilt

$$H^*(\mathbb{C}P^n) \cong \mathbb{R}[\ [\omega]\ ]/([\omega]^{n+1} = 0)$$

<sup>&</sup>lt;sup>2</sup>Anmerkung des Autors: Die Isomorphie  $H_c^3(\mathbb{C}P^2 - \mathbb{C}P^1) \cong H_c^3(\mathbb{R}^4)$  gilt, obwohl  $H_c^*$  keine Homotopie-Invariante ist, weil  $\mathbb{C}P^2 - \mathbb{C}P^1 \cong \mathbb{R}^4$  ein eigentlicher Diffeomorphismus ist.

## 6.6 Kartesische Produkte

Seien M,N glatte Mannigfaltigkeiten. Wir fragen uns, wie wir die Kohomologie von  $H^*(M\times N)$  berechnen können.

## 6.6.1 Bemerkung: Tensorprodukte

Seien V,W reelle endlich-dimensionale Vektorräume. Wir definieren das **Tensoprodukt**  $V\otimes W$  durch

$$V \otimes W := \mathbb{R} \langle V \times W \rangle / I$$

wobei I der Untervektorraum ist, der durch folgende Elemente erzeugt wird

$$(v + v', w + w') - (v, w) - (v, w') - (v', w) - (v', w')$$
$$(\lambda v, \eta w) - \lambda \eta(v, w)$$

für  $v, v' \in V, w, w' \in W, \lambda, \eta \in \mathbb{R}$ . Die Klasse von (v, w) in  $V \otimes W$  bezeichnen wir mit  $v \otimes w$ . Es gilt dann

$$(v + v') \otimes (w + w') = v \otimes w + v' \otimes w + v \otimes w' + v' \otimes w'$$
$$(\lambda v) \otimes (\eta w) = \lambda \eta (v \otimes w)$$

Vorlesung vom 02.02.18

Elemente von  $V \oplus W$  sind endliche Linearkombinationen der Gestalt

$$\lambda_1 \cdot v_1 \otimes w_1 + \ldots + \lambda_k \cdot v_k \otimes w_k$$

für  $\lambda_i \in \mathbb{R}, v_i \in V$  und  $w_i \in W$ . In diesem Sinne nennt man Elemente der Gestalt  $v \oplus w$  Elementartensoren.

Ist  $v_1, \ldots, v_n$  eine Basis von V und  $w_1, \ldots, w_m$  eine Basis von W, so ist

$$\{v_i \otimes w_j \mid i = 1, \dots, n, \ j = 1, \dots, m\}$$

eine Basis von  $V \otimes W$ .

Es liegt eine kanonische Abbildung

$$V \times W \longrightarrow V \otimes W$$
$$(v, w) \longmapsto v \otimes w$$

vor. Diese ist bilinear, aber nicht linear. Tatsächlich liegt folgende Äquivalenz vor:

$$\left\{
 \begin{array}{l}
 \text{Bilineare Abbildungen} \\
 V \times W \longrightarrow U \\
 (v, w) \longmapsto \beta(v, w)
 \end{array}
\right\} \longleftrightarrow
 \left\{
 \begin{array}{l}
 \text{Lineare Abbildungen} \\
 V \otimes W \to U \\
 v \otimes w \longmapsto \beta(v, w)
 \end{array}
\right\}$$

### Zurück zu Produktmannigfaltigkeiten

Es seien wieder M,N glatte Mannigfaltigkeiten. Dann ist  $M\times N$  ebenfalls eine glatte Mannigfaltigkeit mit Projektionen

$$\pi: M \times N \longrightarrow M$$
$$\rho: M \times N \longrightarrow N$$

Betrachte die bilineare Abbildung

$$H^p(M) \times H^q(N) \longrightarrow H^{p+q}(M \times N)$$
  
 $([\omega], [\eta]) \longmapsto [\pi^* \omega \wedge \eta^* \eta]$ 

bzw. die lineare Abbildung

$$\kappa_{p,q}: H^p(M) \otimes H^q(N) \longrightarrow H^{p+q}(M \times N)$$

$$[\omega] \otimes [\eta] \longmapsto [\pi^* \omega \wedge \eta^* \eta]$$

Diese induzieren uns eine lineare Abbildung

$$\kappa = \sum_{p+q=k} \kappa_{p,q} : \bigoplus_{p+q=k} H^p(M) \otimes H^q(N) \longrightarrow H^k(M \times N)$$

93

#### 6.6.2 Satz: Satz von Künneth

 $\kappa$  ist ein Isomorphismus, d. h.

$$\bigoplus_{p+q=k} H^p(M) \otimes H^q(N) \cong H^k(M \times N)$$

#### **Beweis**

Wir zeigen die Aussage nur im Fall, dass M eine endliche gute Überdeckung hat. Wir führen wieder eine Induktion nach der Kardinalität einer endlichen guten Überdeckung.

Induktionsbasis:  $M \cong \mathbb{R}^n$ 

Daraus folgt  $M \times N = \mathbb{R}^n \times N$ . In diesem Fall folgt die Behauptung aus dem Poincare-Lemma.

Induktionsschritt: Wir wollen wieder ein Argument via Mayer-Vietoris-Sequenz und Fünferlemma machen. Dazu seien  $U,V\subset M$  gegeben, dann erhalten wir folgende exakte Sequenz

$$H^p(U \cup V) \longrightarrow H^p(U) \oplus H^p(V) \longrightarrow H^p(U \cap V) \xrightarrow{\delta^*} H^{p+1}(U \cup V)$$

Tensorieren mit  $H^q(N)$  erhält die Exaktheit, da Vektorräume flach sind. Dadurch erhalten wir folgende exakte Sequenz

$$H^p(U \cup V) \otimes H^q(N) \longrightarrow H^p(U) \otimes H^q(N) \oplus H^p(V) \otimes H^q(N) \longrightarrow H^p(U \cap V) \otimes H^q(N) \xrightarrow{\delta^*} H^{p+1}(U \cup V) \otimes H^q(N)$$

Wir bilden für alle p+q=k die direkte Summe der Sequenzen. Dies erhält weiterhin die Exaktheit, ergo erhalten wir folgende exakte Sequenz

$$\bigoplus_{p+q=k} H^p(U \cup V) \otimes H^q(N) \longrightarrow \bigoplus_{p+q=k} H^p(U) \otimes H^q(N) \oplus \bigoplus_{p+q=k} H^p(V) \otimes H^q(N) \longrightarrow \bigoplus_{p+q=k} H^p(U \cap V) \otimes H^q(N) \xrightarrow{\delta^*} \bigoplus_{p+q=k+1} H^p(U \cup V) \otimes H^q(N) \otimes H^q(N)$$

Da  $U \times N$  und  $V \times N$  offene Teilmengen von  $M \times N$  sind, haben diese ihrerseits eine exakte Mayer-Vietoris-Sequenz

$$H^k((U \cup V) \times N) \longrightarrow H^k(U \times N) \oplus H^k(V \times N) \longrightarrow H^k((U \cap V) \times N) \xrightarrow{\delta^*} H^{k+1}((U \cup V) \times N)$$

Ferner erhalten wir durch die Abbildungen  $\kappa$  ein Diagramm

$$\bigoplus_{p+q=k} H^p(U \cup V) \otimes H^q(N) \longrightarrow \bigoplus_{p+q=k} H^p(U) \otimes H^q(N) \oplus \bigoplus_{p+q=k} H^p(V) \otimes H^q(N) \longrightarrow \bigoplus_{p+q=k} H^p(U \cap V) \otimes H^q(N) \xrightarrow{\delta^*} \bigoplus_{p+q=k+1} H^p(U \cup V) \otimes H^q(N)$$

$$\downarrow^{\kappa} \qquad \qquad \downarrow^{\kappa} \qquad \qquad \downarrow^{\kappa}$$

$$H^k((U \cup V) \times N) \longrightarrow H^k(U \times N) \oplus H^k(V \times N) \longrightarrow H^k((U \cap V) \times N) \xrightarrow{\delta^*} H^{k+1}((U \cup V) \times N)$$

Wegen der Induktionshypothese können wir annehmen, dass alle  $\kappa$  außer

$$\kappa: \bigoplus_{p+q=k} H^p(U \cup V) \otimes H^q(N) \longrightarrow H^k((U \cup V) \otimes N)$$

Isomorphismen sind. Wir wollen die Kommutativität des Diagramms zeigen. Für alle Quadrate, die nicht das  $\delta^*$  involvieren, ist dies klar. Für

$$\bigoplus_{p+q=k} H^p(U \cap V) \otimes H^q(N) \xrightarrow{\delta^*} \bigoplus_{p+q=k+1} H^p(U \cup V) \otimes H^q(N)$$

$$\downarrow^{\kappa} \qquad \qquad \downarrow^{\kappa}$$

$$H^k((U \cap V) \times N) \xrightarrow{\delta^*} H^{k+1}((U \cup V) \times N)$$

gilt

$$\kappa \delta^*(\omega \otimes \eta) = \kappa((\delta^* \omega) \otimes \eta) 
= \kappa(\mathrm{d}(f_U \omega) \otimes \eta) 
= \pi^*(\mathrm{d}(f_U \omega)) \wedge \rho^* \eta 
= \mathrm{d}(\pi^* f_U \cdot \pi^* \omega \wedge \rho^* \eta) 
= \mathrm{d}(\pi^* f_U \cdot \kappa(\omega \otimes \eta)) 
= \delta^* \kappa(\omega \times \eta)$$

wobei  $f_U \circ \pi, f_V \circ \pi$  eine Partition der Eins bzgl.  $U \times N$  und  $V \times N$  ist. Daraus folgt, dass

$$\kappa: \bigoplus_{p+q=k} H^p(U \cup V) \otimes H^q(N) \longrightarrow H^k((U \cup V) \otimes N)$$

ein Isomorphismus ist.

## 6.6.3 Beispiel

$$\begin{split} H^*(S^3 \times S^2) &= H^*(S^3) \otimes H^*(S^2) \\ &= (H^0(S^3) \oplus H^3(S^3)) \otimes (H^0(S^2) \oplus H^2(S^2) \\ &= H^0(S^3) \otimes H^0(S^2) \oplus H^0(S^3) \otimes H^2(S^2) \oplus H^3(S^3) \otimes H^0(S^3) \oplus H^3(S^3) \otimes H^2(S^2) \end{split}$$

Daraus folgt

$$H^{p}(S^{3} \times S^{2}) = \begin{cases} H^{0}(S^{3}) \otimes H^{0}(S^{2}) = \mathbb{R} & p = 0 \\ H^{0}(S^{3}) \otimes H^{2}(S^{2}) = \mathbb{R} & p = 2 \\ H^{3}(S^{3}) \otimes H^{0}(S^{2}) = \mathbb{R} & p = 3 \\ H^{3}(S^{3}) \otimes H^{2}(S^{2}) = \mathbb{R} & p = 5 \\ 0 & \text{sonst} \end{cases}$$

# Kapitel 7

# BORDISMUS-THEORIE

# 7.1 Die Signatur einer Mannigfaltigkeit

Sei M eine glatte orientierte geschlossene Mannigfaltigkeit der Dimension n=4k. Betrachte die Bilinearform

$$\langle \cdot \mid \cdot \rangle : H^{2k}(M) \times H^{2k}(M) \longrightarrow \mathbb{R}$$

$$([\omega], [\eta]) \longmapsto \int_{M} \omega \wedge \eta$$

Diese Bilinearform ist symmetrisch und nicht ausgeartet wegen der Poincare-Dualität. Deswegen existiert eine Basis  $v_1, \ldots, v_{s+t}$  von  $H^{2k}(M)$ , in der die Matrixdarstellung von  $\langle \cdot | \cdot \rangle$  diagonal ist. D. h.

$$\langle v_i | v_j \rangle_{i,j} = \begin{pmatrix} p_1 & & & & 0 \\ & \ddots & & & & \\ & & p_s & & & \\ & & & n_1 & & \\ & & & & \ddots & \\ 0 & & & & n_t \end{pmatrix}$$

mit  $p_i > 0$  und  $n_i < 0$ . Die **Signatur** 

$$\sigma(\langle \cdot \mid \cdot \rangle) := s - t$$

ist dann definiert als die Anzahl der positiven Eigenwerte von  $\langle \cdot \mid \cdot \rangle$  minus die Anzahl der negativen Eigenwerte von  $\langle \cdot \mid \cdot \rangle$ .

Wir definieren die **Signatur** der Mannigfaltigkeit M durch

$$\sigma(M) := \sigma(\langle \cdot | \cdot \rangle : H^{2k}(M) \otimes H^{2k}(M) \to \mathbb{R}) = s - t$$

Die Signatur einer Mannigfaltigkeit ist offenbar eine orientierte Homotopieinvariante.

**Frage** Wann ist  $\sigma(\langle \cdot | \cdot \rangle)$  gleich Null für eine beliebige symmetrische nicht-ausgeartete Bilinearform  $\langle \cdot | \cdot \rangle : V \otimes V \to \mathbb{R}$ ?

## 7.1.1 Definition

Ein Untervektorraum  $L \subset V$  heißt **Lagrangscher Untervektorraum**<sup>1</sup> bzgl.  $\langle \cdot | \cdot \rangle$ , falls

- i.)  $\langle \cdot | \cdot \rangle_L = 0$
- ii.)  $\dim L = \frac{1}{2} \dim V$

#### 7.1.2 Satz

Sei V endlich dimensional.

 $\sigma(\langle\cdot\mid\cdot\rangle)$  ist genau dann Null, wenn V einen Lagrangschen Untervektorraum hat.

<sup>&</sup>lt;sup>1</sup>Eine andere Bezeichnung ist maximaler isotroper Untervektorraum.

Vorlesung vom 05.02.18

## 7.1.3 Konvention

Wir setzen die Signatur einer Mannigfaltigkeit gleich Null, falls die Dimension der Mannigfaltigkeit nicht von Vier geteilt wird. D. h.,

$$\sigma(M) := 0$$
 falls dim  $M = 0 \mod 4$ 

## 7.1.4 Beispiel

• Für alle n > 0 gilt

$$\sigma(S^n) = 0$$

- $\sigma(\text{Punkt}) = 1$
- Wir betrachten  $M=\mathbb{C}P^2$ . Betrachte die 2-Form  $\omega\in\mathbb{C}P^2$ , die  $H^2(\mathbb{C}P^2)$  erzeugt und für die gilt

$$\int_{\mathbb{C}P^2} \omega \wedge \omega = \langle [\omega], [\omega] \rangle = +1$$

Daraus folgt, dass die Matrix von  $\langle\cdot\mid\cdot\rangle$  gerade durch +1 dargestellt wird. Insofern folgt

$$\sigma(\mathbb{C}P^2) = +1$$

#### Beweis: Satz 7.1.2

1.) Sei  $\sigma(\langle \cdot | \cdot \rangle) = 0$ . Dann existiert eine Basis  $v_1, \ldots, v_s, w_1, \ldots, w_s$  von V, sodass gilt

$$\begin{pmatrix} \langle v_i | v_j \rangle & \langle v_i | w_j \rangle \\ \langle w_i | v_j \rangle & \langle w_i | w_j \rangle \end{pmatrix} = \begin{pmatrix} p_1 & & & & \\ & \ddots & & & & \\ & & p_s & & & \\ & & & n_1 & & \\ & & & & \ddots & \\ & & & & n_s \end{pmatrix}$$

mit

$$p_i > 0$$
 und  $n_i < 0$ 

Setzt man

$$e_i := \frac{v_i}{\sqrt{p_i}} \qquad \qquad f_i := \frac{w_i}{\sqrt{|n_i|}}$$

so gilt

$$\begin{pmatrix} \langle e_i | e_j \rangle & \langle e_i | f_j \rangle \\ \langle f_i | e_j \rangle & \langle f_i | f_j \rangle \end{pmatrix} = \begin{pmatrix} 1 & & & & \\ & \ddots & & & \\ & & 1 & & \\ & & & -1 & \\ & & & \ddots & \\ & & & & -1 \end{pmatrix}$$

Setze nun

$$e_i' := \frac{e_i + f_i}{\sqrt{2}} \qquad \qquad f_i' := \frac{e_i - f_i}{\sqrt{2}}$$

Dann folgt

$$\langle e_i'|e_i'\rangle = \frac{1}{2} \langle e_i + f_i|e_i + f_i\rangle$$
$$= \frac{1}{2} (\langle e_i|e_i\rangle + 2 \langle e_i|f_i\rangle + \langle f_i|f_i\rangle) = 0$$

und

$$\langle e'_i | e'_j \rangle = \frac{1}{2} \langle e_i + f_i | e_j + f_j \rangle$$
  
=  $\frac{1}{2} (\langle e_i | e_j \rangle + \langle e_i | f_j \rangle + \langle e_j | f_i \rangle + \langle f_i | f_j \rangle) = 0$ 

Setze ergo

$$L := \mathbb{R} \langle e_1', \dots, e_s' \rangle$$

L ist dann der gesuchte Lagrangsche Untervektorraum.

2.) Sei nun L ein Lagrangscher Untervektorraum. Sei  $\{e_1, \ldots, e_s\}$  eine Basis für L. Dann existieren Vektoren  $\{f_1, \ldots, f_s\}$  mit

$$\langle e_i | f_j \rangle = \delta_{i,j} = \begin{cases} 1 & i = j \\ 0 & i \neq j \end{cases}$$

Daraus folgt, dass  $\{e_1, \ldots, e_s, f_1, \ldots, f_s\}$  eine Basis von V ist. Es ergibt sich nun

$$\begin{pmatrix} \langle e_i | e_j \rangle & \langle e_i | f_j \rangle \\ \langle f_i | e_j \rangle & \langle f_i | f_j \rangle \end{pmatrix} = \begin{pmatrix} 0 & 1 & 1 \\ 0 & 1 & 1 \\ & 0 & 1 \\ 1 & * & 1 \\ & 1 & * & * \end{pmatrix}$$

Setze

$$\widehat{f}_j \in f_j + L$$

so für alle j, dass

$$\langle f_i | f_i \rangle = 0$$

für alle i, j. Es gilt dann

$$\begin{pmatrix} \langle e_i | e_j \rangle & \langle e_i | f_j \rangle \\ \langle f_i | e_j \rangle & \langle f_i | f_j \rangle \end{pmatrix} = \begin{pmatrix} 0 & 1 & 1 \\ 0 & 1 & 1 \\ & 0 & 1 \\ 1 & 0 & 1 \\ & 1 & 0 \end{pmatrix}$$

Wir ordnen die Basis  $\{e_1, \ldots, e_s, \widehat{f_1}, \ldots, \widehat{f_s}\}$  zu  $\{e_1, \widehat{f_1}, \ldots, e_s, \widehat{f_s}\}$  um und erhalten folgende Darstellung von  $\langle \mid \rangle$ 

Ersetzt man  $e_i$ ,  $\hat{f_i}$  durch  $\frac{e_i+\hat{f_i}}{\sqrt{2}}$ ,  $\frac{e_i-\hat{f_i}}{\sqrt{2}}$ , so verwandeln sich die Diagonalblöcke von  $\begin{pmatrix} 0 & 1 \\ 1 & 0 \end{pmatrix}$  zu  $\begin{pmatrix} 1 & 0 \\ 0 & -1 \end{pmatrix}$  Die Anzahl der positiven Diagonaleinträge minus die Anzahl der negativen Diagonaleinträge von einer Matrix von  $\langle \ | \ \rangle$  ist nun Null.

Geometrische Frage Wann ist eine geschlossene (orientierte) Mannigfaltigkeit der Dimension n Rand einer kompakten (kompatibel orientierten) Mannigfaltigkeit der Dimension (n+1).

## 7.1.5 Bemerkung

Die Forderung, dass der Korand kompakt ist, ist in obiger Frage wesentlich, da M immer der Rand von  $M \times [0,1)$  ist.

## 7.1.6 Beispiel

- Sei n = 1 und  $M = S^1$ . Dann ist M der Rand von  $D^2$ . Diese Wahl ist nicht eindeutig, da M als Rand einer Fläche mit beliebigen Geschlecht dargestellt werden kann.
- Sei n=2. Betrachten Sie eine Fläche von Geschlecht g Ihres Vertrauens. Im nicht orientierten Fall kann man sich die Kleinsche Flasche vorstellen als unorientierbare Fläche von Geschlecht Eins. Die Kleinsche Flasche ist tatsächlich der Rand einer dreidimensionalen Mannigfaltigkeit, denn:

Stellen Sie sich hier eine Grafik vor, die alles erklärt.

 $\bullet$  Sei n=3. Jede dreidimensionale Mannigfaltigkeit lässt sich als Rand einer vierdimensionalen Mannigfaltigkeit darstellen. Dies besagt der Satz von Rohlin.

#### 7.1.7 Satz: Satz von R. Thom

Sei n = 4k. Existiert eine (n+1)-dimensionale orientierte, kompakte Mannigfaltigkeit W mit  $\partial W = M$ , so gilt

$$\sigma(M) = 0$$

#### Beweis

Sei M der Rand von W. Betrachte das Paar (W, M):

$$H^{2k}(W) \xrightarrow{\iota^*} H^{2k}(M) \xrightarrow{\delta^*} H^{2k+1}(W,M)$$

Mit der Poincare-Dualität folgen Isomorphismen

$$H^{2k}(W) \xrightarrow{\iota^*} H^{2k}(M) \xrightarrow{\delta^*} H^{2k+1}(W, M)$$

$$\downarrow^{\sim} \qquad \downarrow^{\sim} \qquad \downarrow^{\sim}$$

$$H^{2k+1}(W, M)^* \longrightarrow H^{2k}(M)^* \xrightarrow{(\iota^*)^*} H^{2k+1}(W)^*$$

wobei gilt

$$H^k(W, \partial W) = H^k_c(W - \partial W) = H^{n-k}(W)^*$$

für jede kompakte, n-dimensionale Mannigfaltigkeit. Obiges Diagramm kommutiert bis auf Vorzeichen.

Wir behaupten nun, dass

$$L := \mathsf{Bild}\iota^* \subset H^{2k}(M)$$

ein Lagrangscher Untervektorraum ist. Es gilt

 $H^{2k}(M)/\mathsf{Kern}\delta^*\cong\mathsf{Bild}\delta^*\cong\mathsf{Bild}(\iota^*)^*=L^*$ 

und

$$H^{2k}(M)/\mathsf{Kern}\delta^* = H^{2k}(M)/\mathsf{Bild}\iota^* \cong H^{2k}(M)/L \cong L^*$$

Daraus folgt

$$\dim L = \frac{1}{2}\dim H^{2k}(M)$$

• Wir müssen zeigen, dass  $\langle \cdot | \cdot \rangle$  auf L verschwindet. Seien  $\omega, \eta \in \mathsf{Bild}i^*$ . Dann existieren  $\omega', \eta' \in H^{2k}(W)$  mit

$$\omega = \iota^* \omega' \qquad \qquad \eta = \iota^* \eta'$$

Es gilt nun

$$\langle \omega, \eta \rangle = \int_{M} \omega \wedge \eta = \int_{\partial W} \iota^* \omega' \wedge \iota^* \eta' = \int_{\partial W} \iota^* (\omega' \wedge \eta')$$
$$= \int_{W} d\iota^* (\omega' \wedge \eta') = \int_{W} \iota^* d(\omega' \wedge \eta') = 0$$

#### 7.1.8 Korollar

Ist  $\partial W = M \dot{\cup} N$ , so heißen M und N kobordant. In diesem Fall gilt

$$\sigma(M) = \sigma(N)$$

# Index

(Ketten)-Homotopie, 62	Immersion, 10
Äußere Algebra, 40	Integration entlang der Faser, 75
Übergangsfunktionen, 13	kanonische Orientierung, 29
äußere Ableitung, 43	kobordant, 103
äußere Produkt, 56	Kohomologiegruppen, 55
Abbildungsgrad, 27	Kohomologiegruppen mit kompakten Trä-
alternierend, 38	gern, 71
Basisraum, 12	Kokettenkomplex, 62
Dasisiaum, 12	Komplex, 62 komplexen projektiven Raum, 86
de Rham-Kohomologie, 49, 56	kritischer Punkt, 7
Differentialform, 42	kritischer Wert, 7
Differentialformen mit kompakten Träger, 71	kurze exakte Sequenz, 66
11	Lagrangscher Untervektorraum, 98
eigentlich, 73	Lebesgue-Konstante, 5
Einbettung, 10	lokal endlich, 6
Einschränkung auf den Rand, 60 Elementartensoren, 92	lokal trivial, 12
erste Kohomologiegruppe, 37	nicht-ausgeartet, 83
exakt, 52, 66	normal, 6
Γ 10	Normalenbündel, 16
Faser, 12 faserweise, 12	orientierter, 29
laserweise, 12	Orientierung, 29, 30
geschlossen, 52	orientierungserhaltend, 30
glatte Differential-k-Form, 55	orientierungsumkehrend, 30
Gradient, 37	parakompakt, 6
gut, 80	parallelisierbar, 14
homogene Koordinaten, 86	Poincare-Dualität, 82
Homomorphismus, 13, 62	Polarkoordinaten, 87

INDEX 105

Potential, 35 Produktregel, 46 Projektion, 12 Pullback, 55

regulären Wert, 7 relative Kohomologiegruppe, 89 relativen de Rham-Komplex, 89 Richtungsableitungen, 43 Rotation, 37

Shuffle, 39 Signatur, 97, 98 stabile Orientierung, 29 Stammfunktion, 35 sternförmig, 36 Strukturgruppe, 13 Submersion, 10

Tensoprodukt, 91 Totalraum, 12 Träger, 58 transversal, 11, 12 trivial, 14 Tubenumgebung, 16

Untermannigfaltigkeit, 10

Vektorraumbündel, 12

Wedge-Produkt, 39

Zerlegung der Eins, 6

# DIFFERENTIALTOPOLOGIE II, SS18

# 7.2 Ausblick

- $\bullet\,$  Fortsetzung: Bordismustheorie
- Riemannsche Geometrie:
  - Riemannsche Metrik
  - Zusammenhänge
  - Paralleltransport
  - Kovariante Ableitung
  - Geodätische
  - Exponentialabbildung
  - Riemannscher Krümmungstensor
  - Schnittkrümmung, Ricci-Krümmung, Gauss-Krümmung für Flächen
  - vollständige Metriken
  - Satz von Hopf-Rinow
  - Satz von Hadamard ( $\kappa \leq 0$ )
  - Gauss-Bonnet:

$$\int_{M^2} \kappa = 2\pi \chi(M)$$

- Jacobi-Felder
- Morse-Theorie:

$$f: M \longrightarrow \mathbb{R}$$

mit isolierten kritischen Punkten (und Zusatzeigenschaften) heißt Morse-Funktion. Für diese Funktion betrachtet man die kritischen Punkte und ordnet diesen je einen Index zu. Es gilt so in etwa

$$\begin{Bmatrix} \text{kritische Punkte} \\ + \text{Indizes} \end{Bmatrix} \longleftrightarrow \begin{Bmatrix} \dim H^i(M) \\ + \text{Zellstruktur} \end{Bmatrix}$$

• Charakteristischen Klassen für Vektorraumbündel:

$$\mathbb{R}^n, \mathbb{C}^n \longrightarrow E$$

$$- \qquad \qquad \downarrow \qquad \text{Dies induziert ein } c(E) \in H^*(B).$$

$$B$$

- Eulerklasse
- Chernklassen
- Satz von Levay-Hirsch (Faserbündel)